

FIG. 2

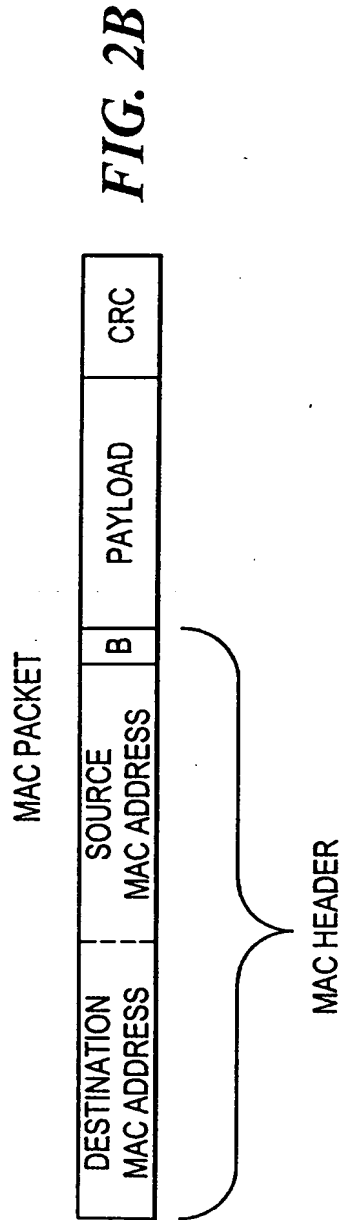
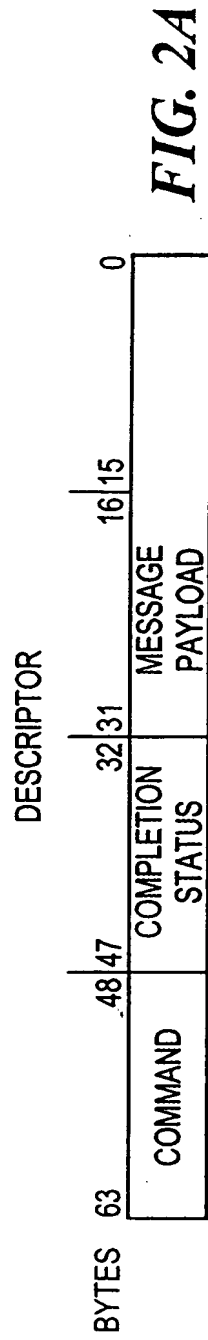


FIG. 3

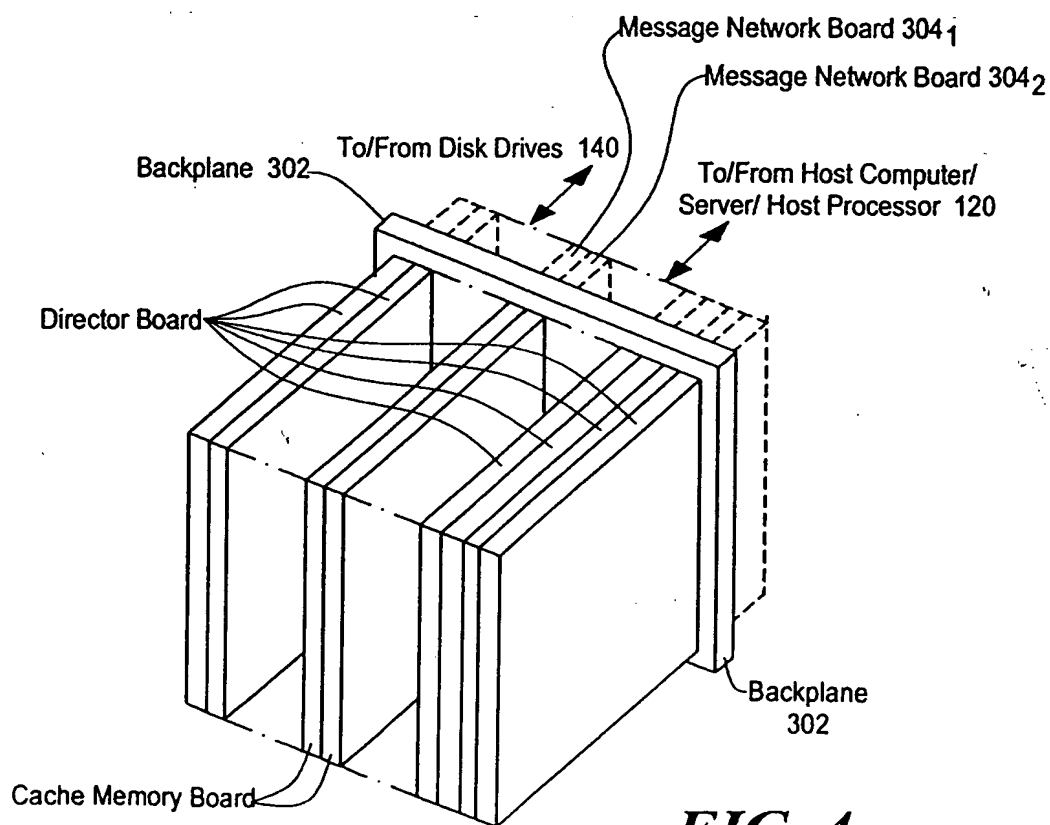
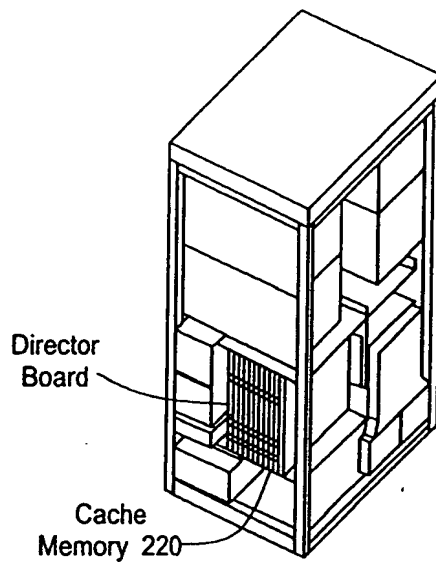
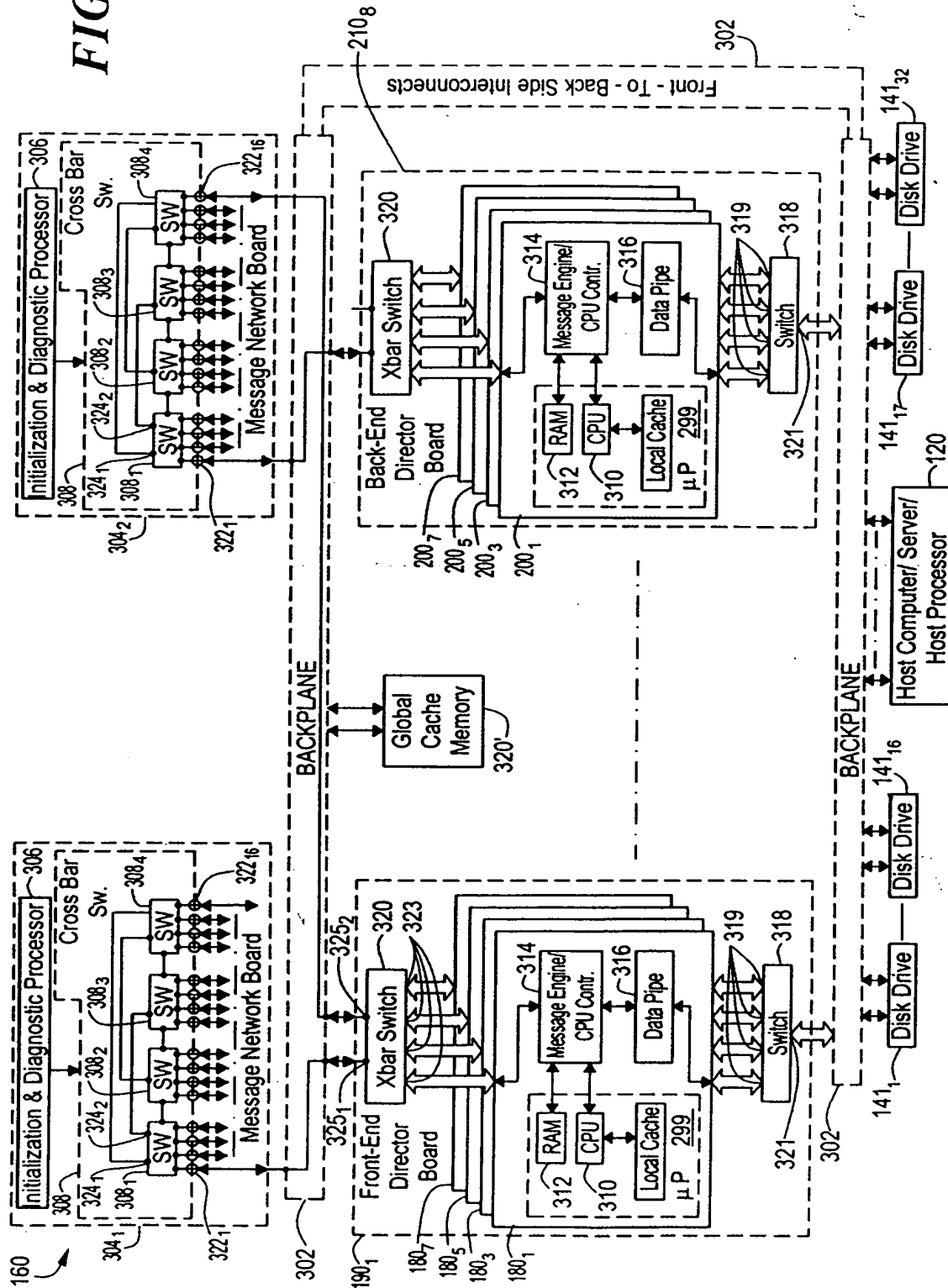


FIG. 4

FIG. 5



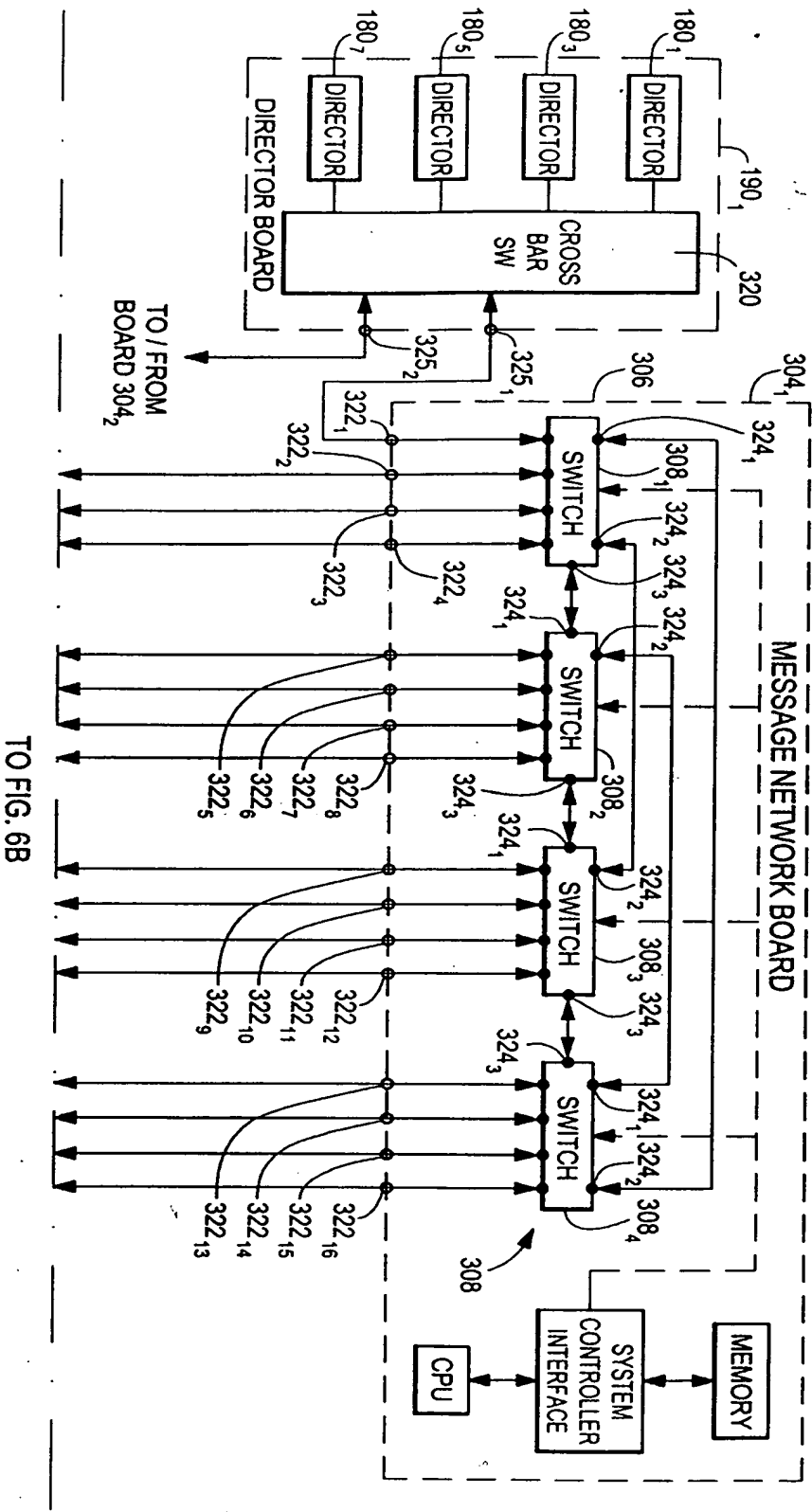
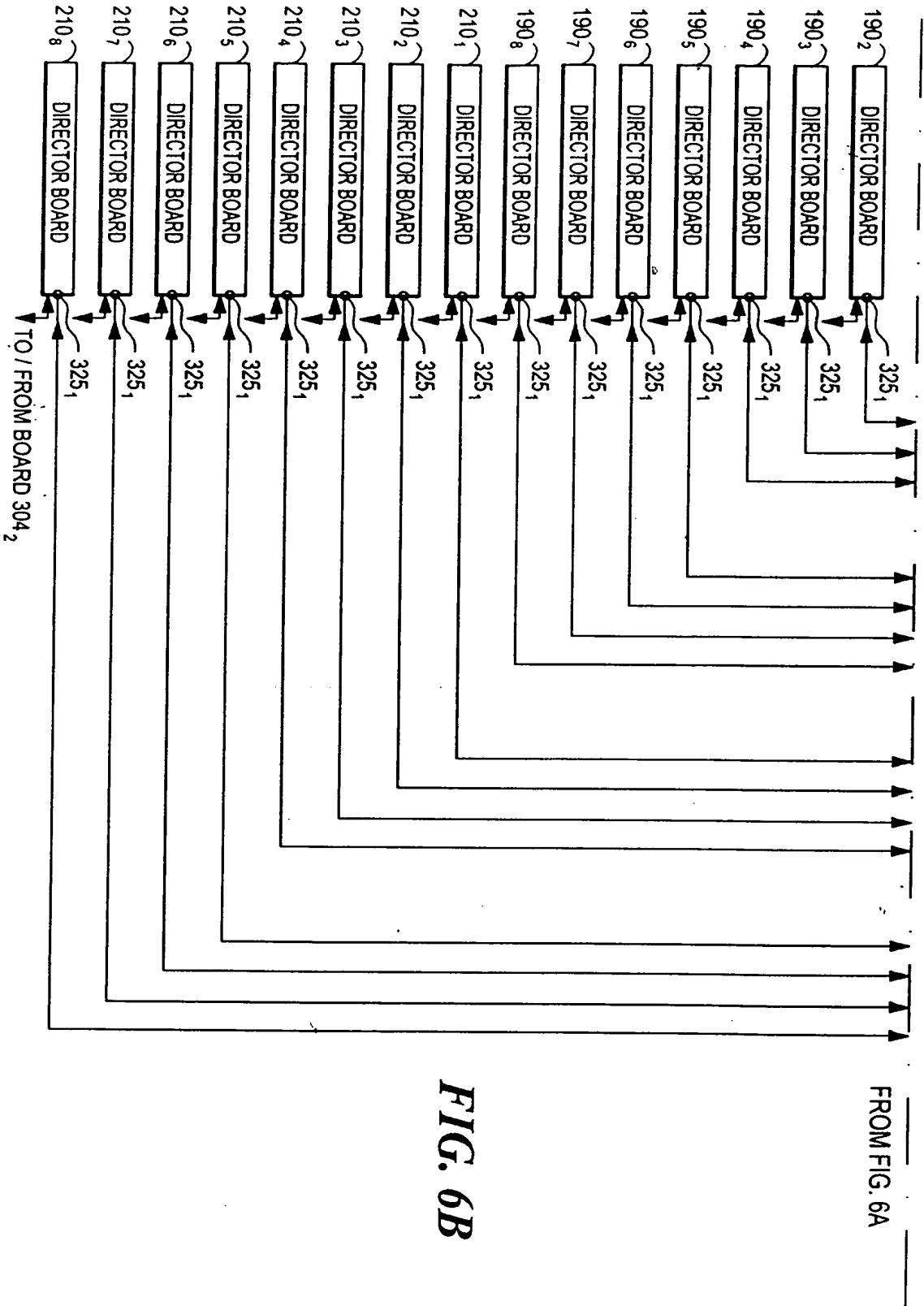


FIG. 6

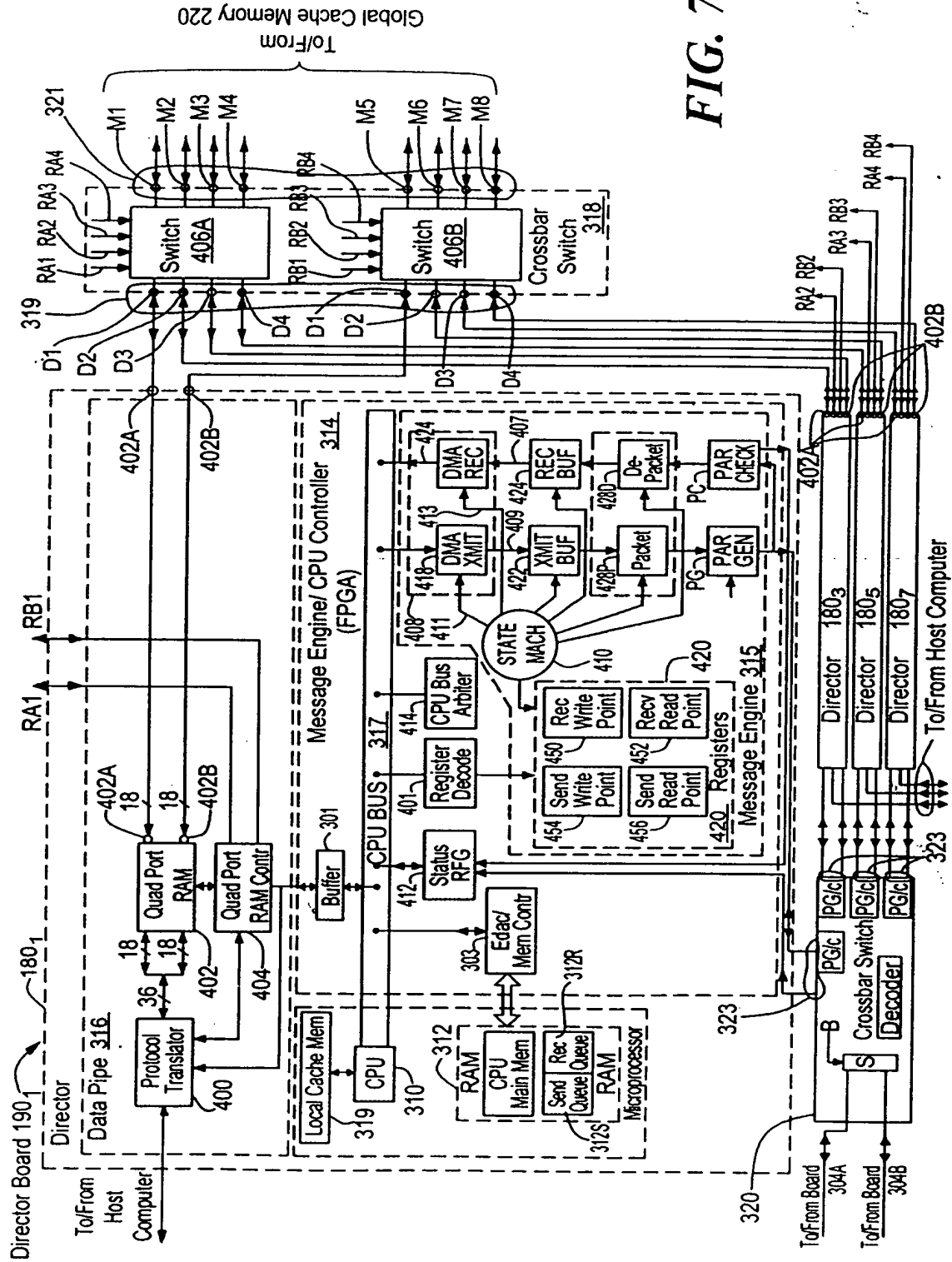
FIG. 6A
FIG. 6B

FIG. 6A



John K. Walton et al.
Application No. 09/746,496

FIG. 7



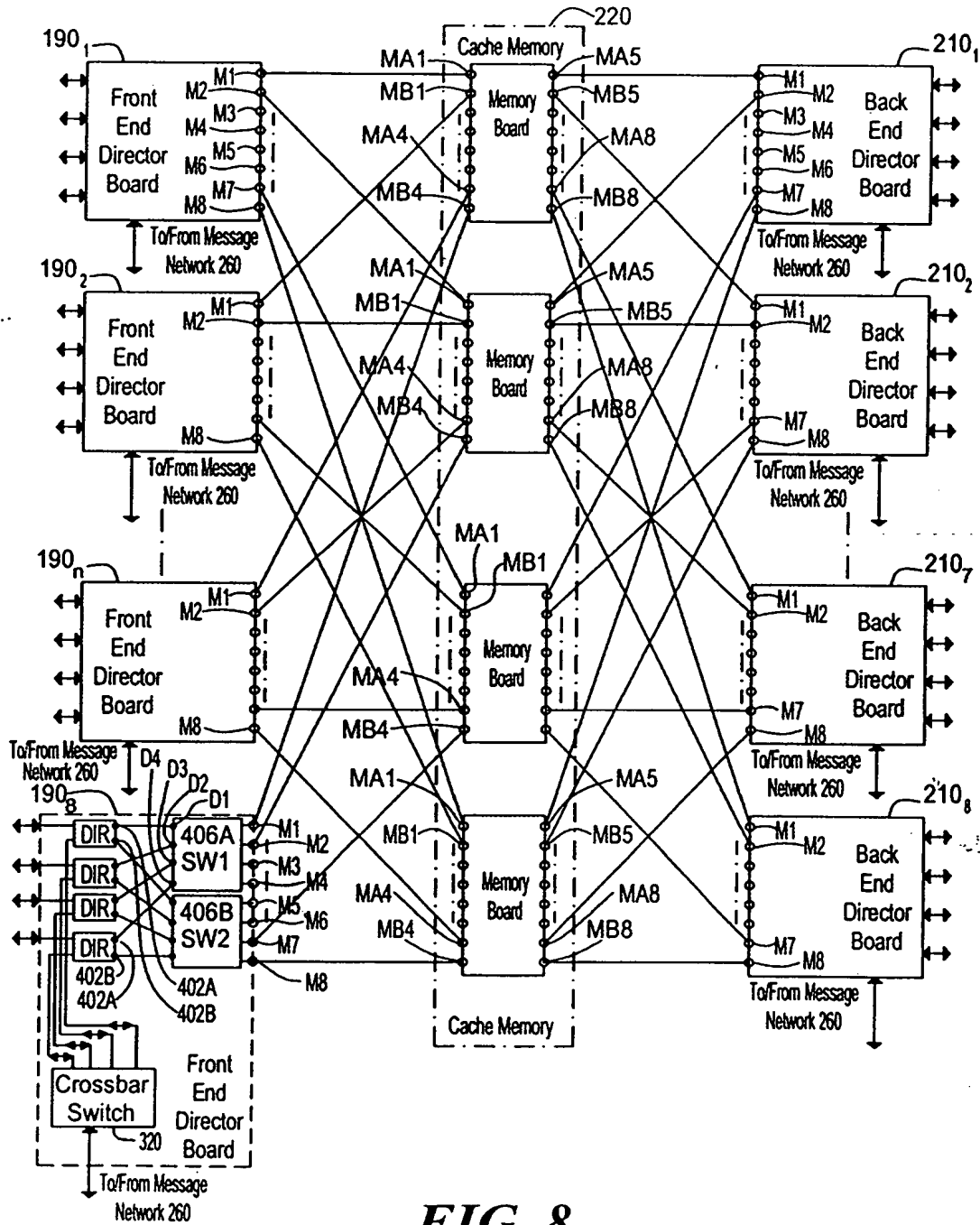


FIG. 8

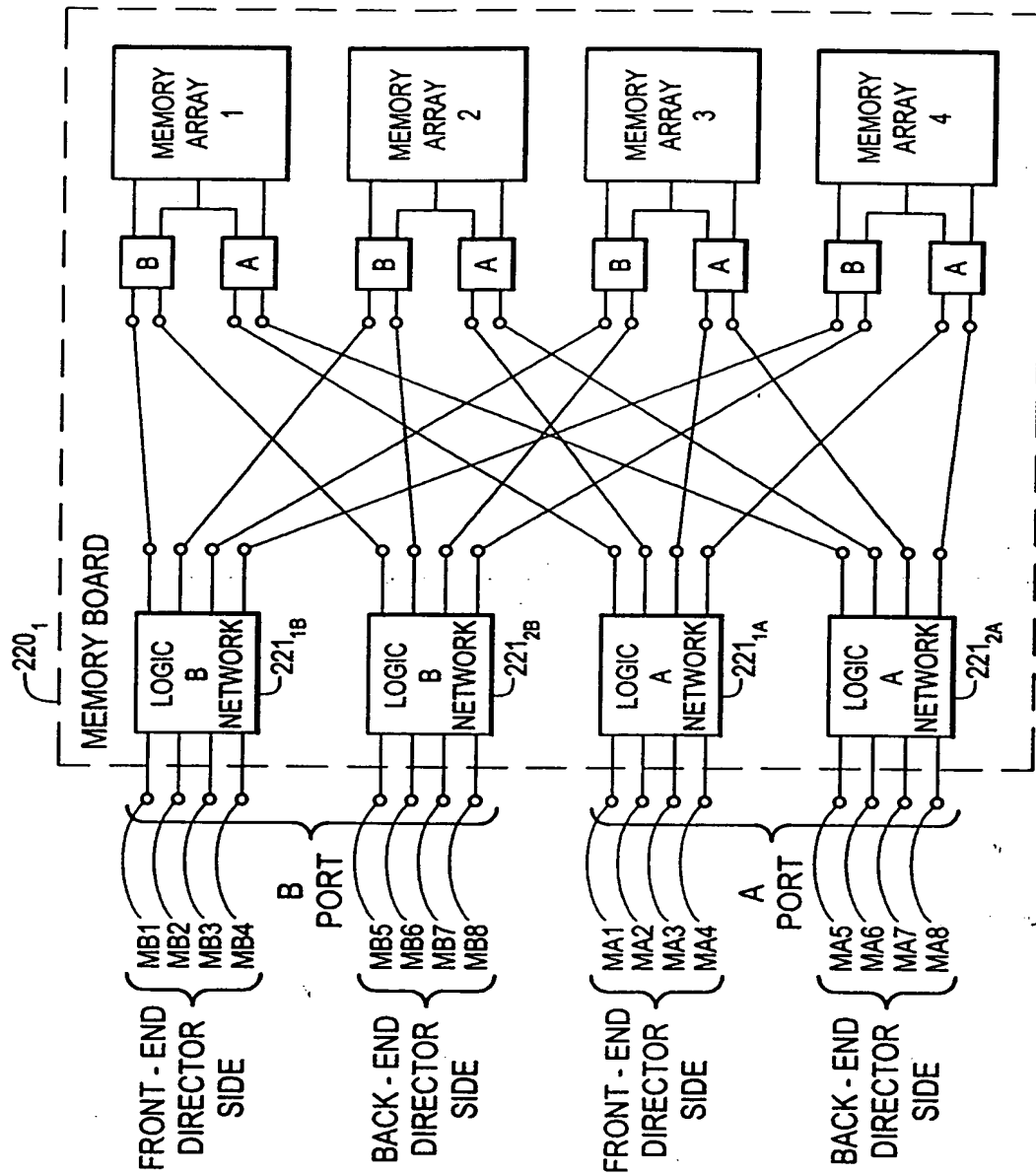


FIG. 8A

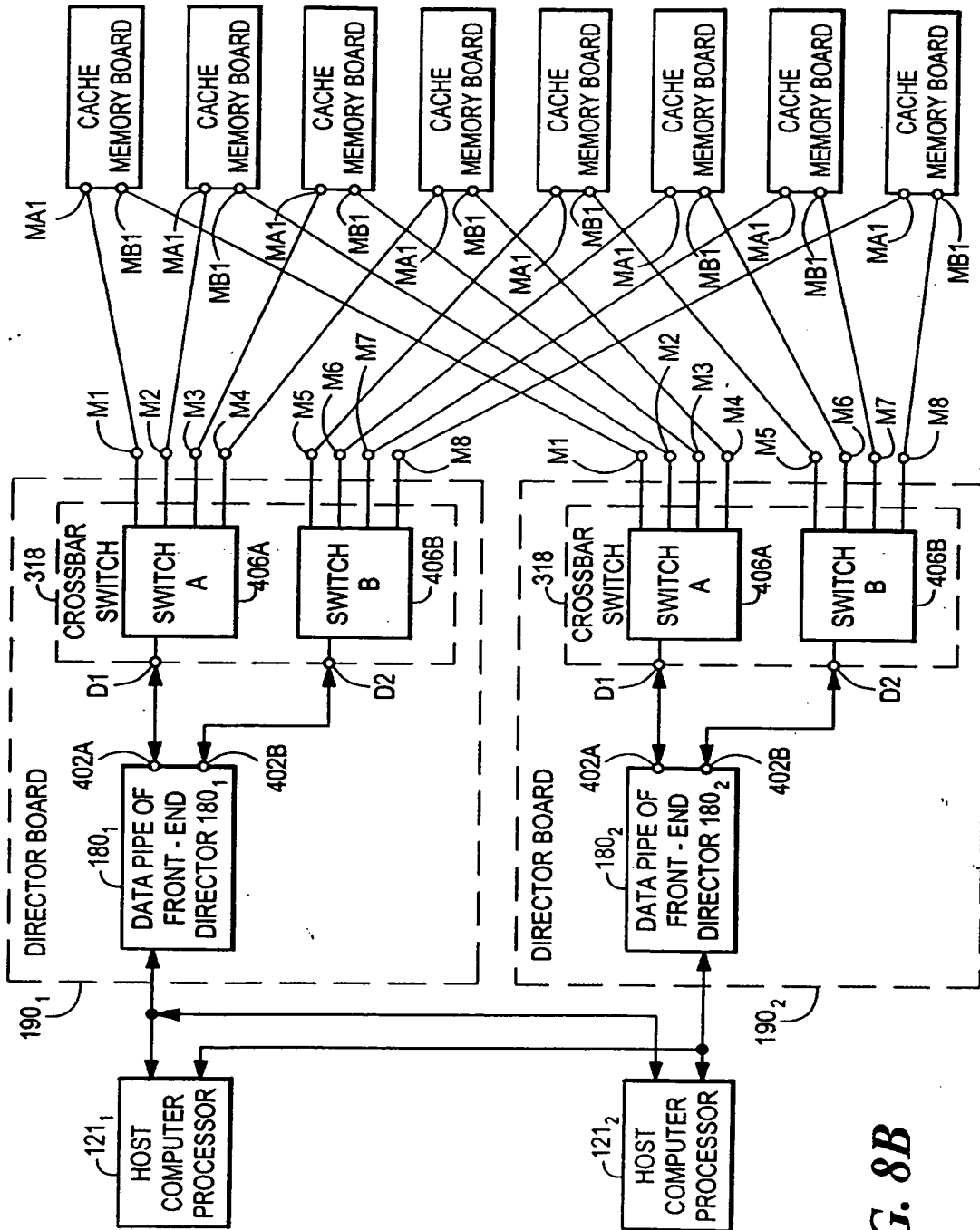


FIG. 8B

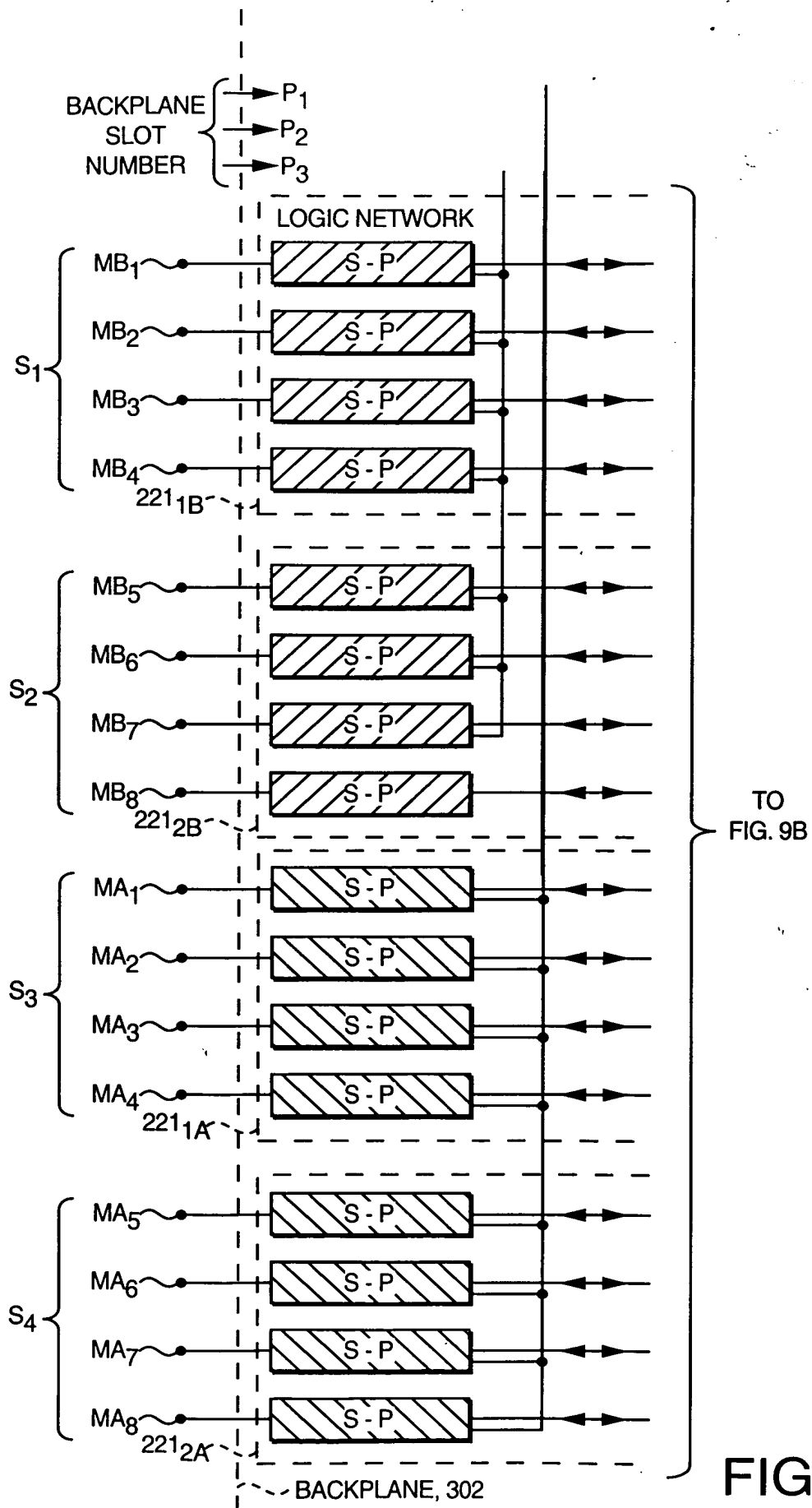
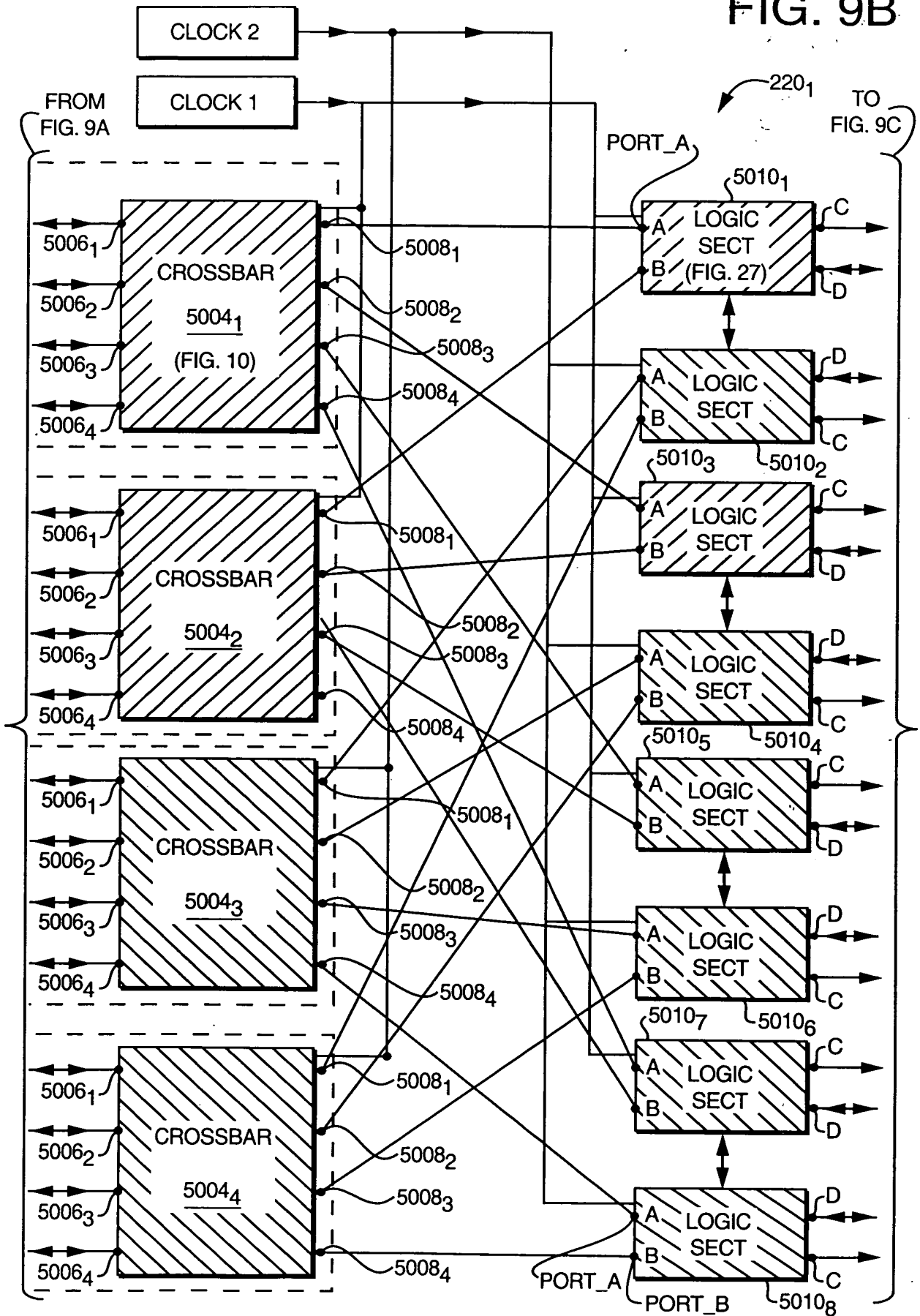


FIG. 9A

FIG. 9B



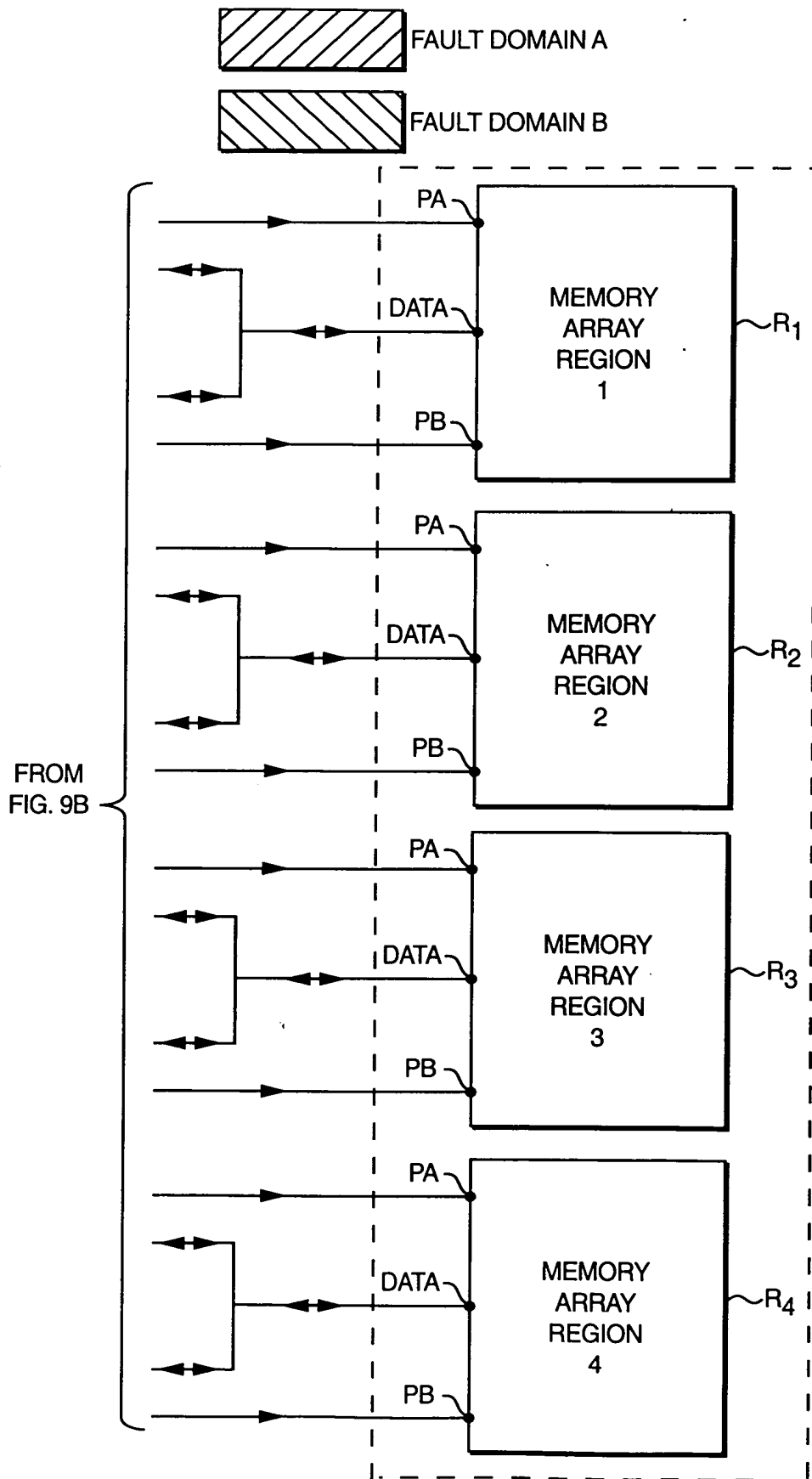
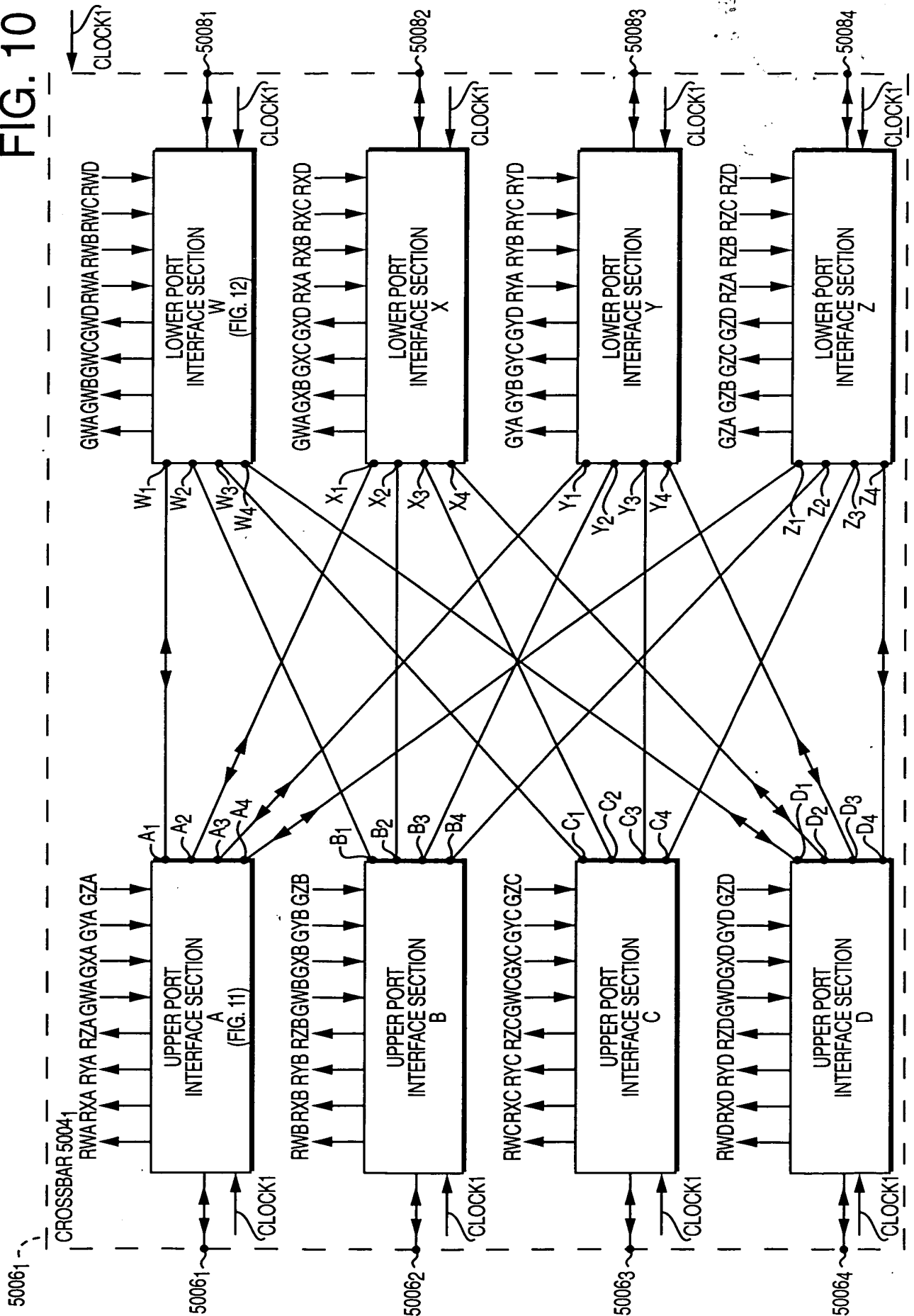


FIG. 9C

FIG. 10



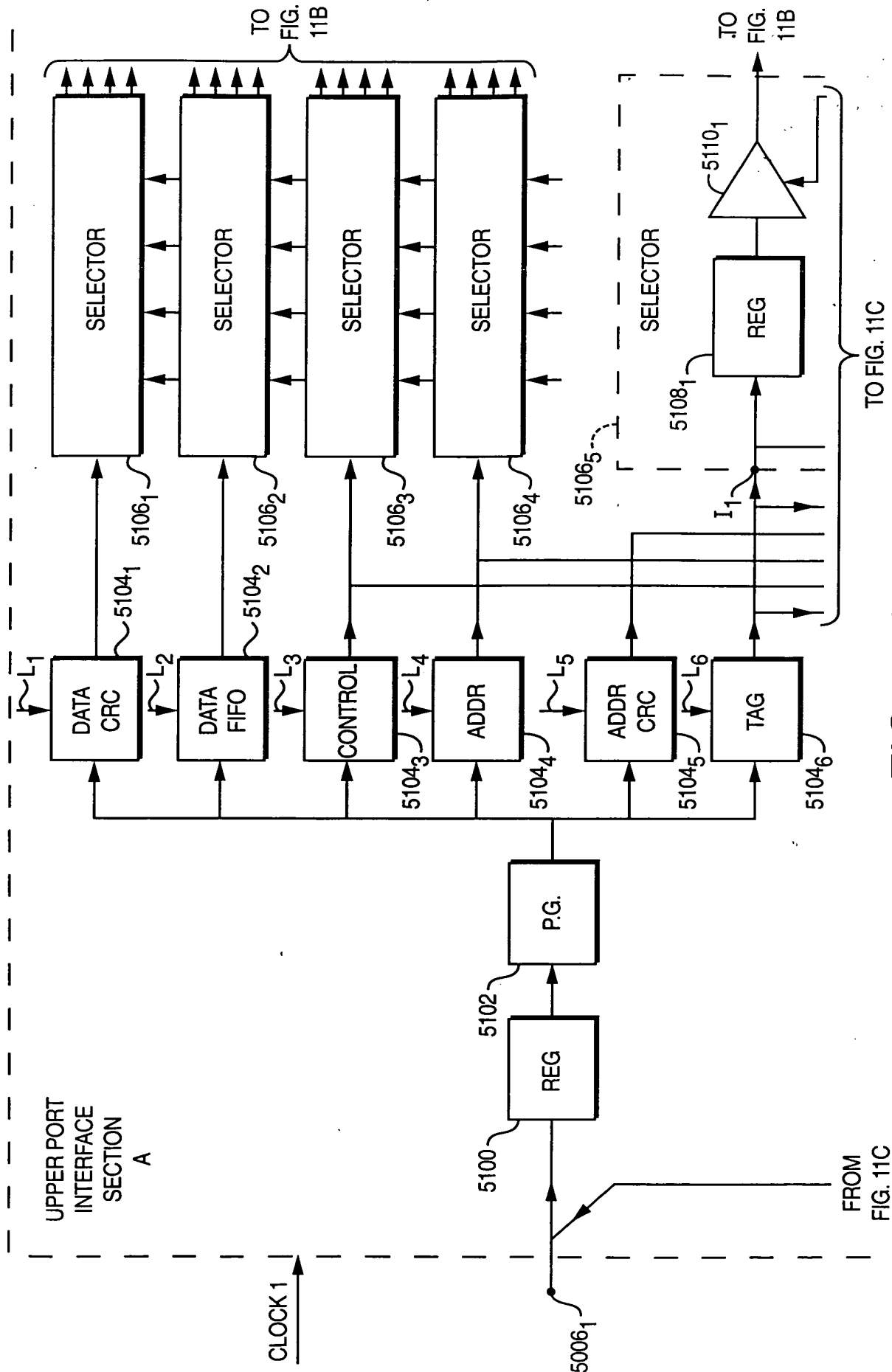
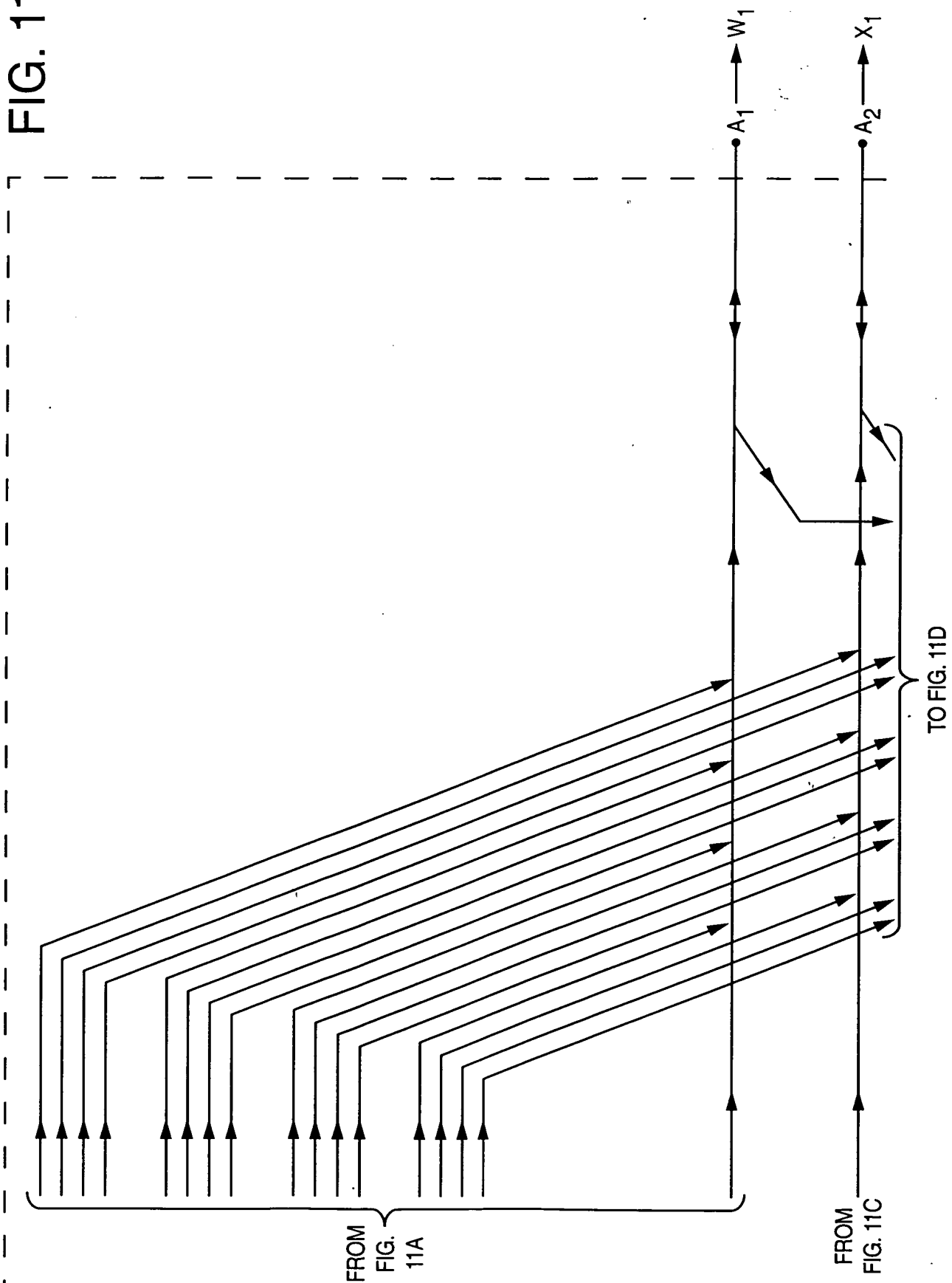
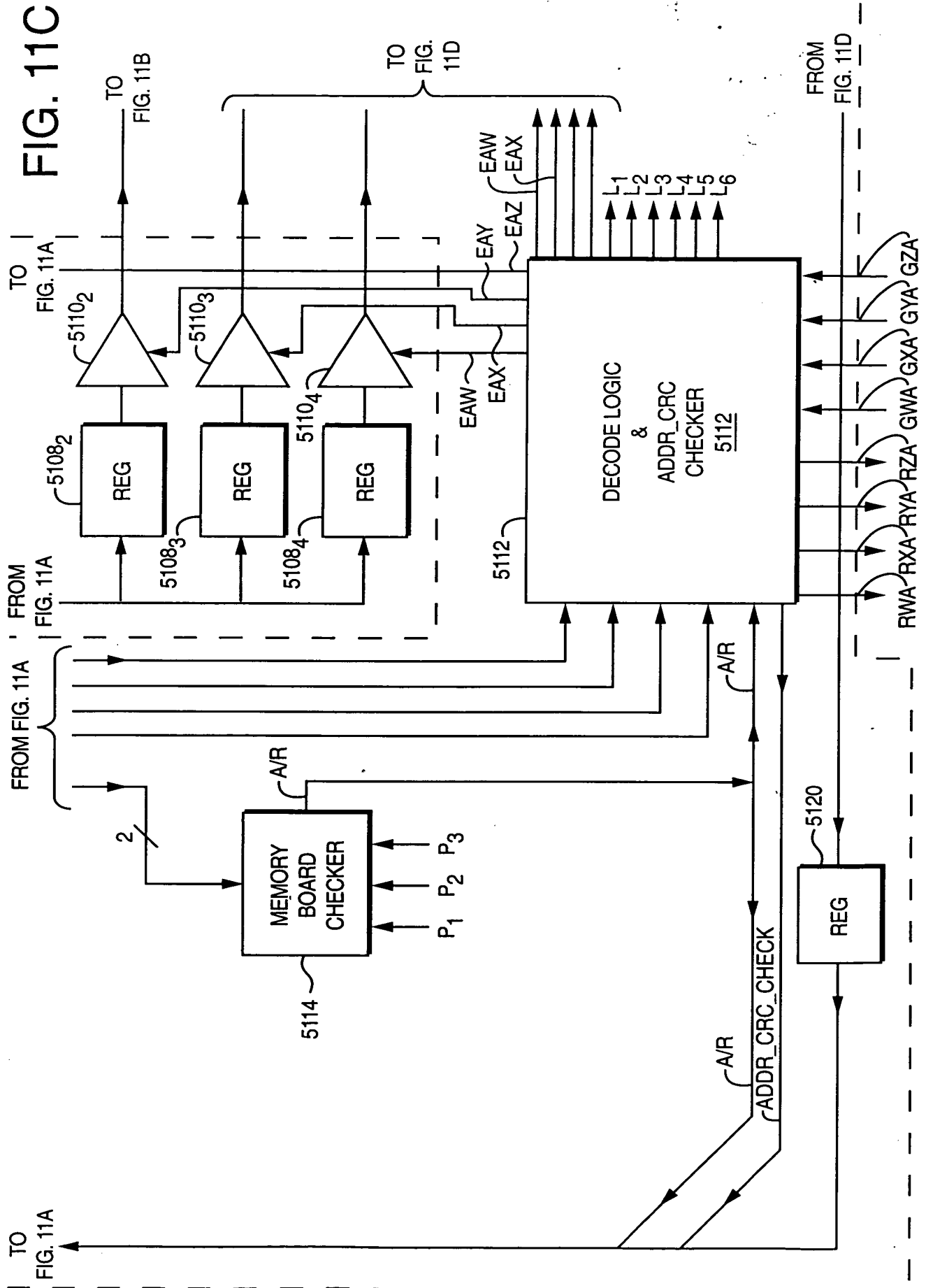


FIG. 11A

FIG. 11B





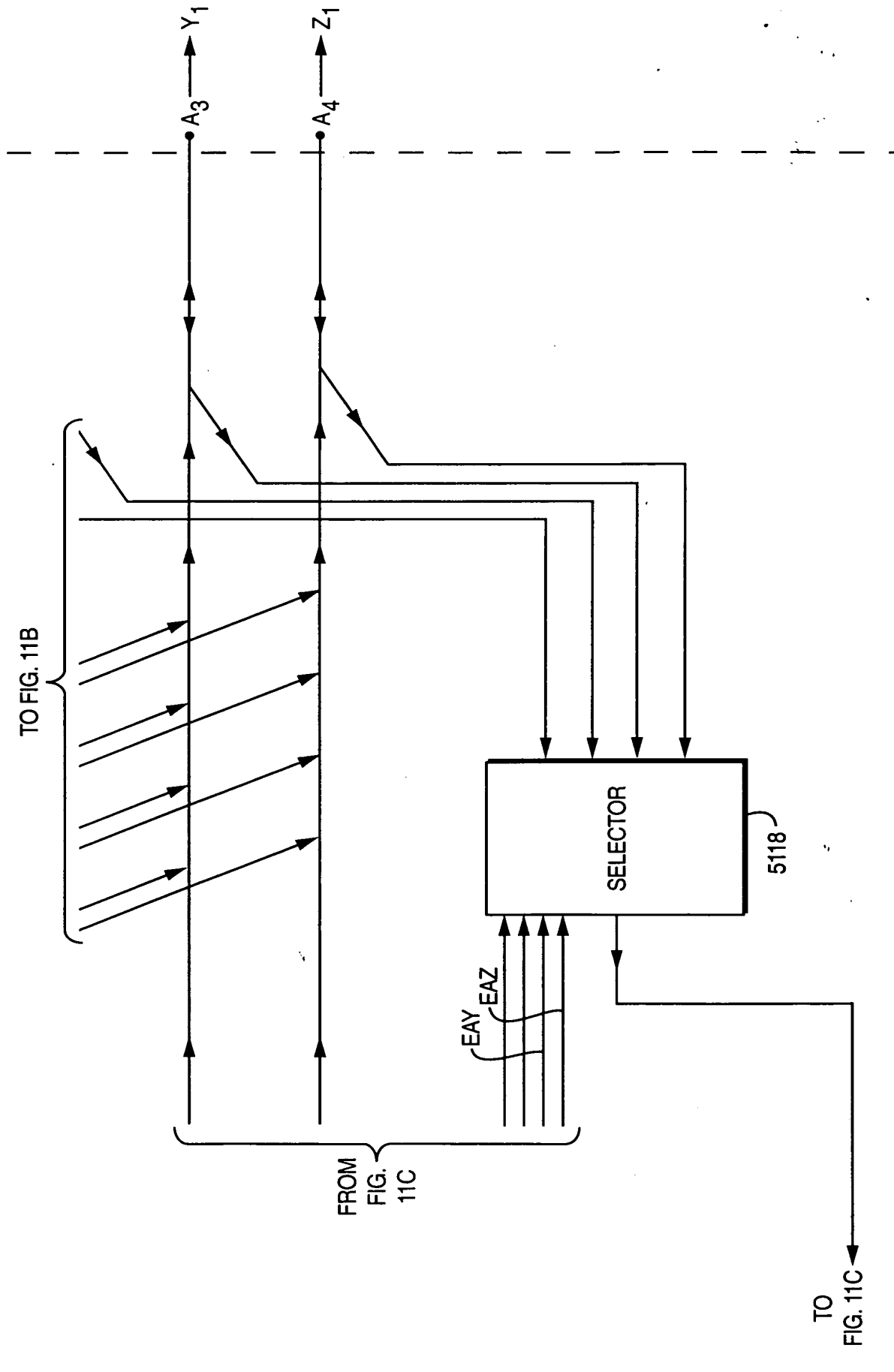


FIG. 11D

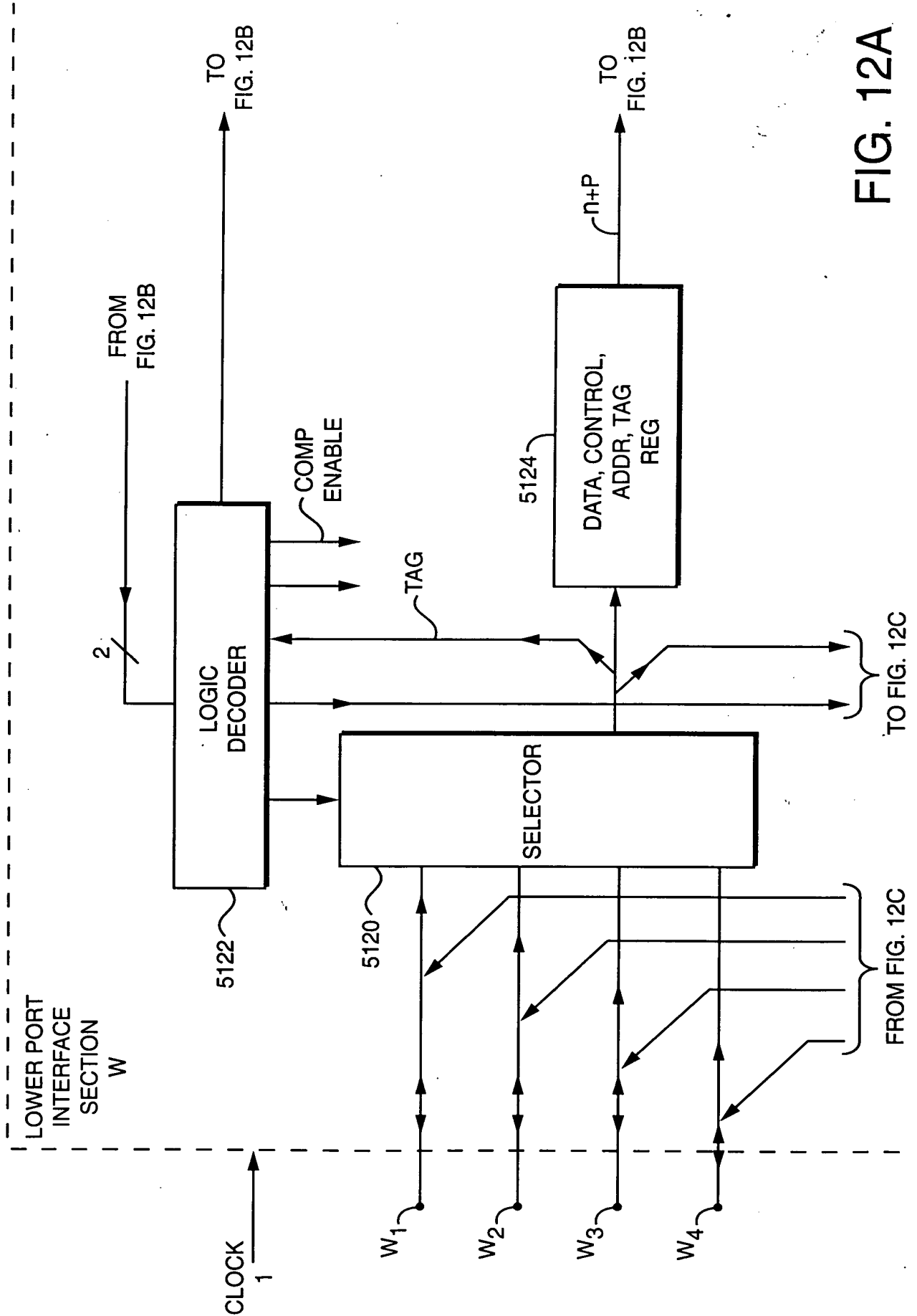
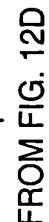


FIG. 12A



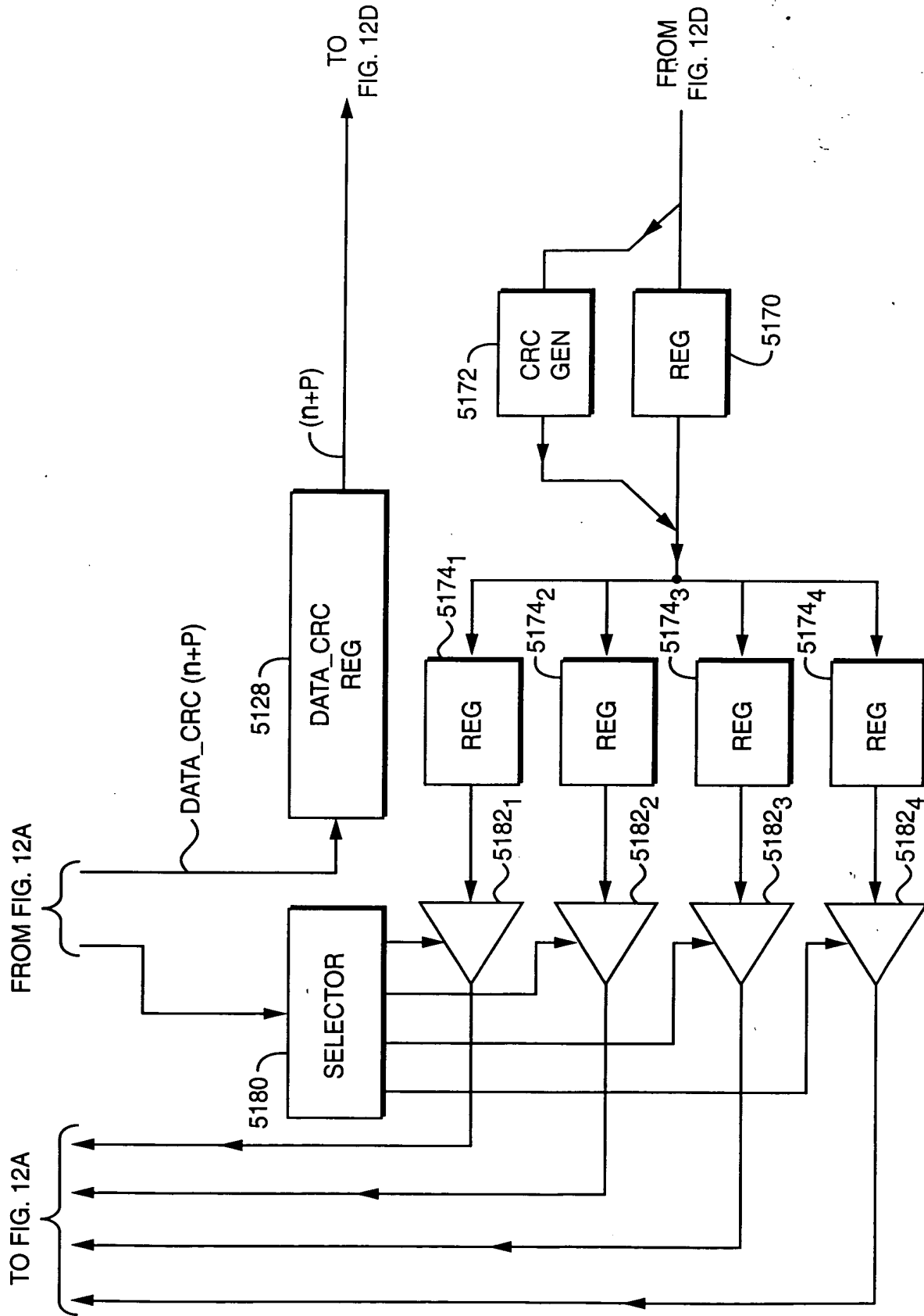


FIG. 12C

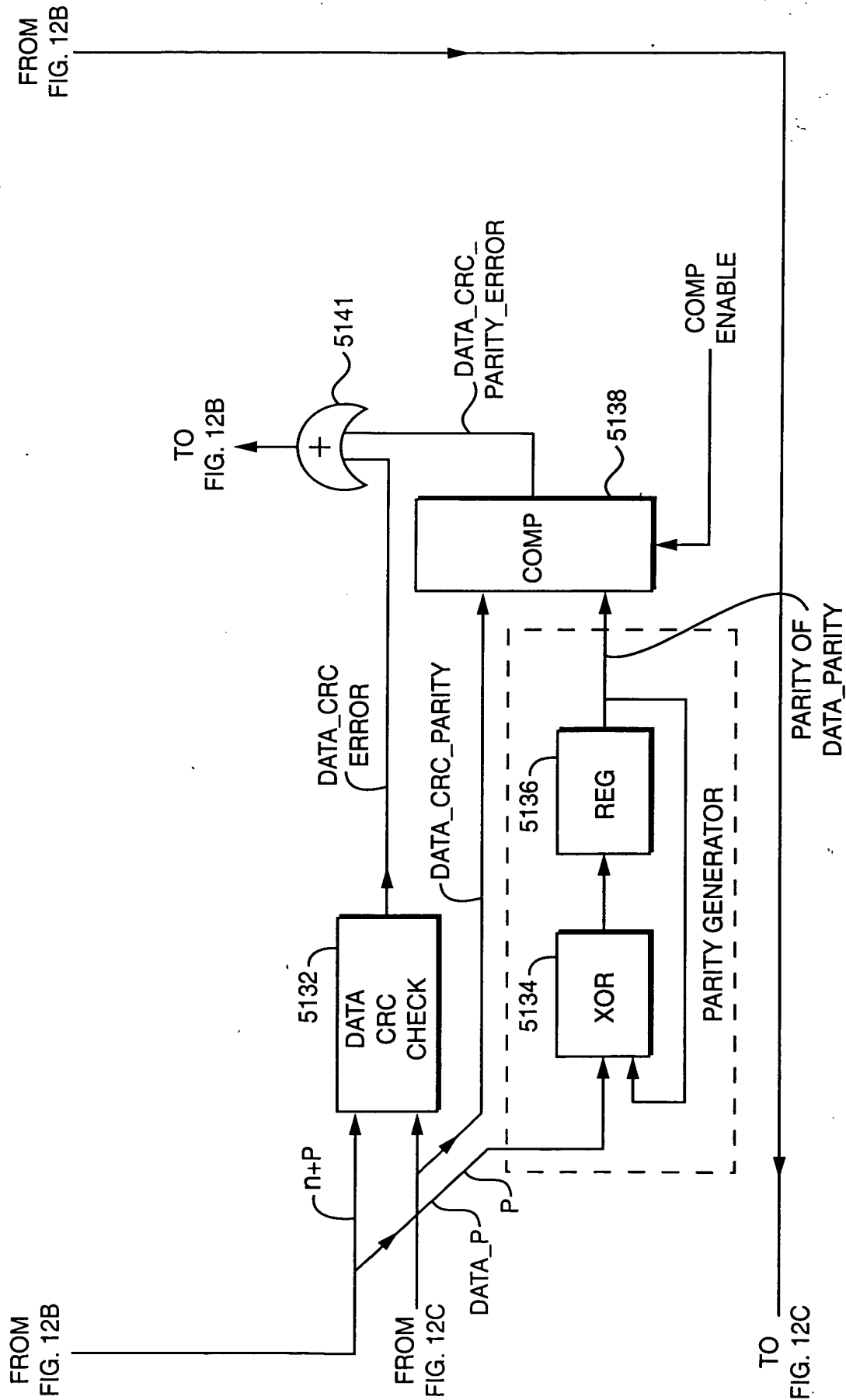


FIG. 12D

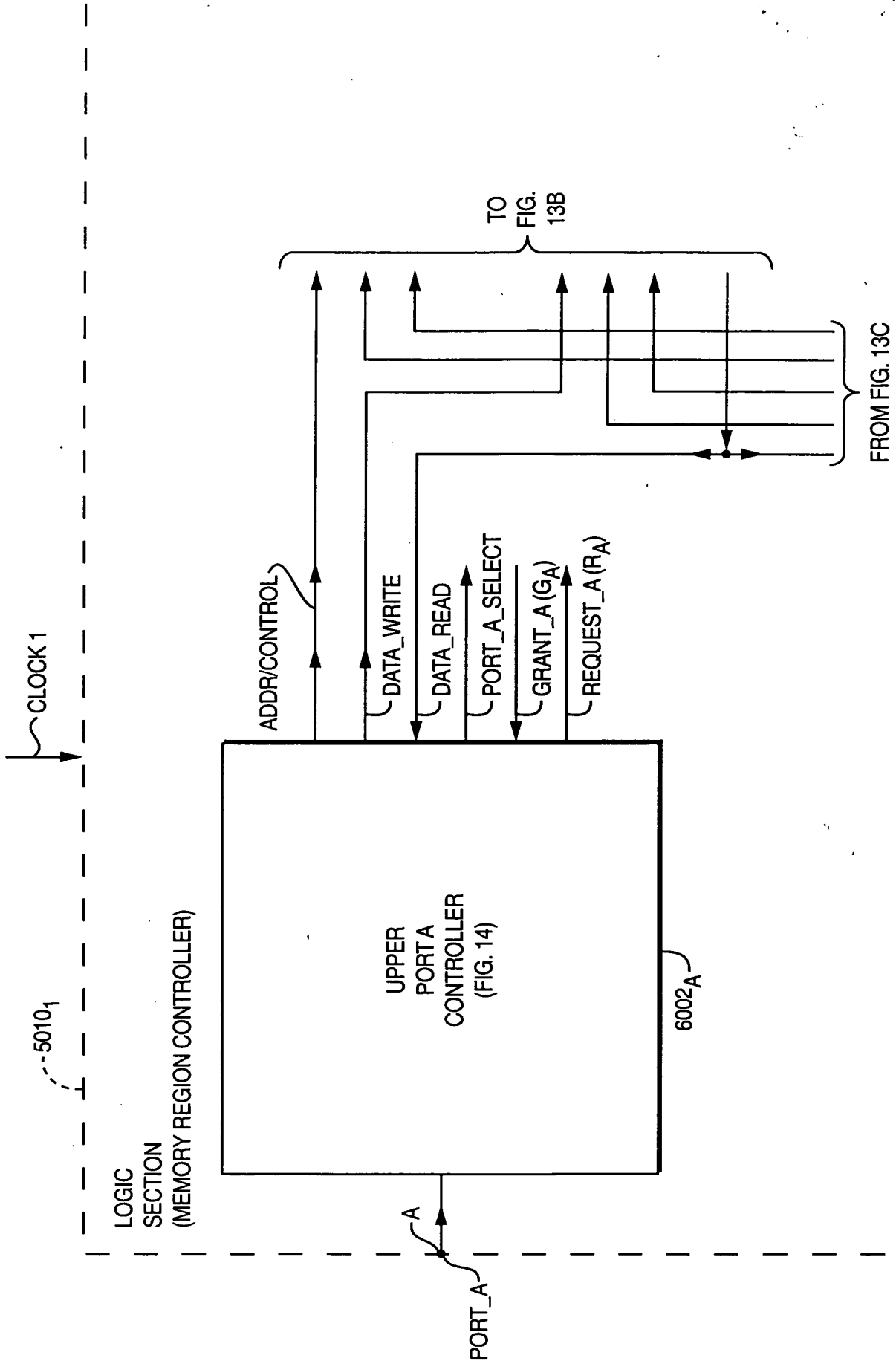


FIG. 13A

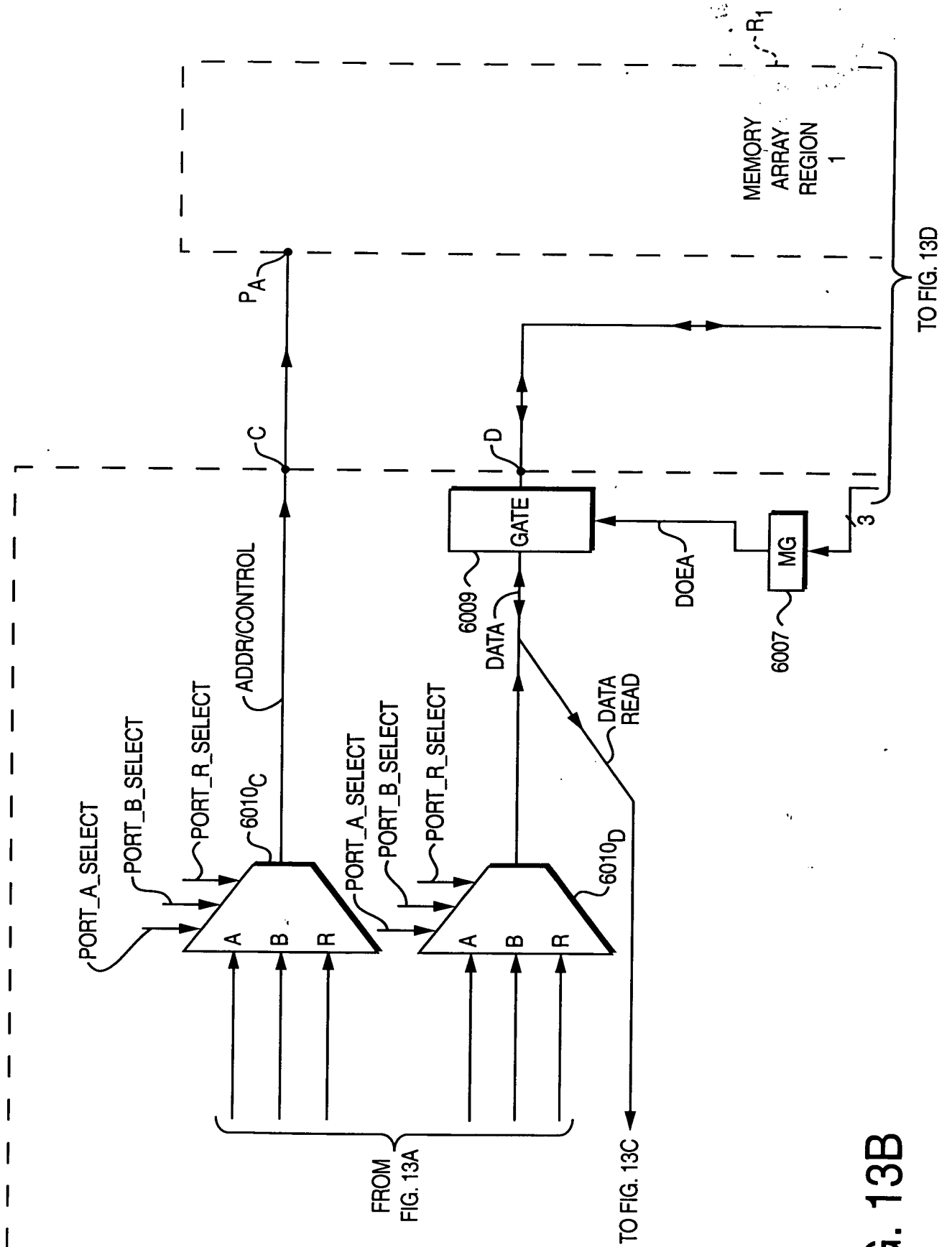


FIG. 13B

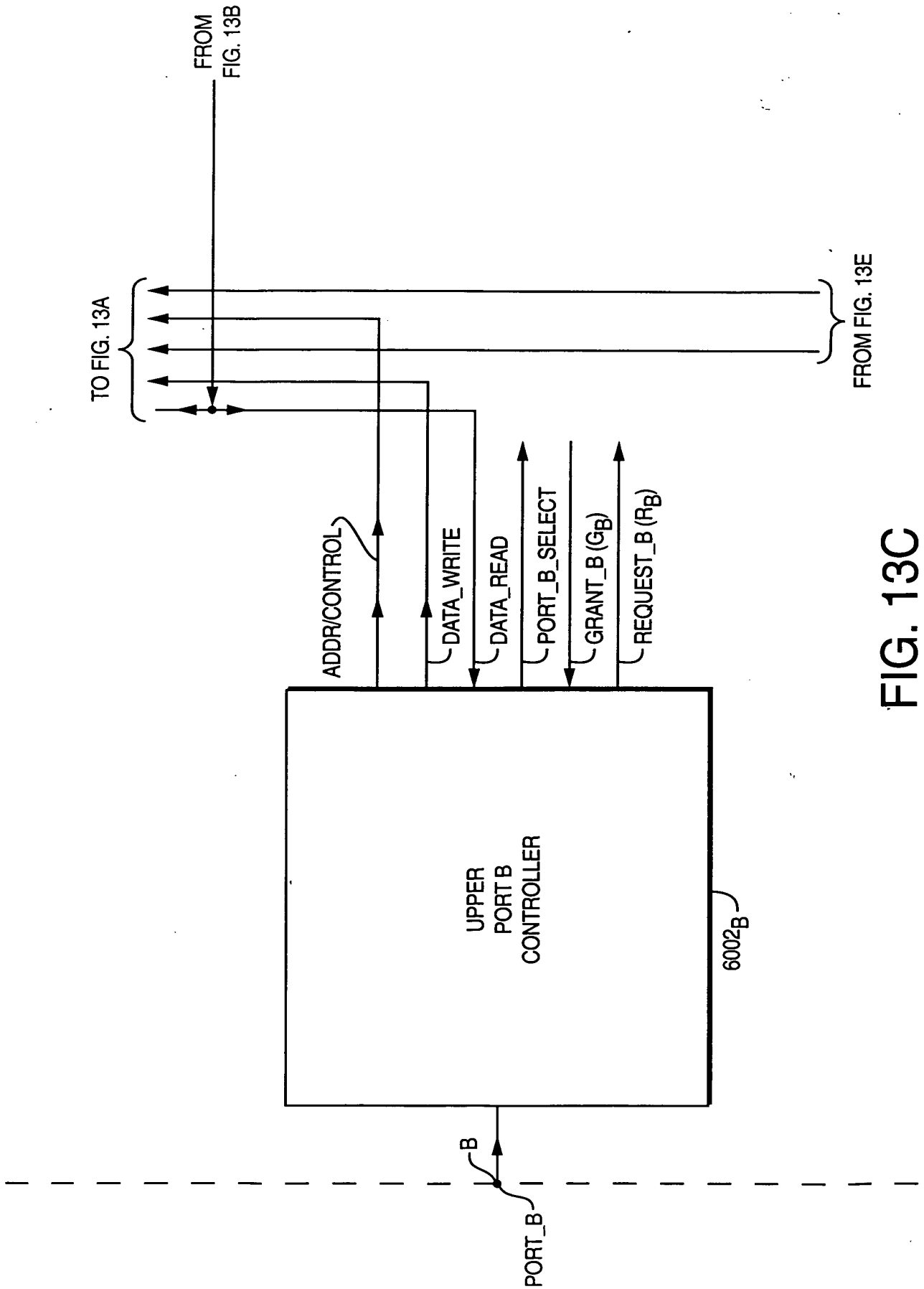
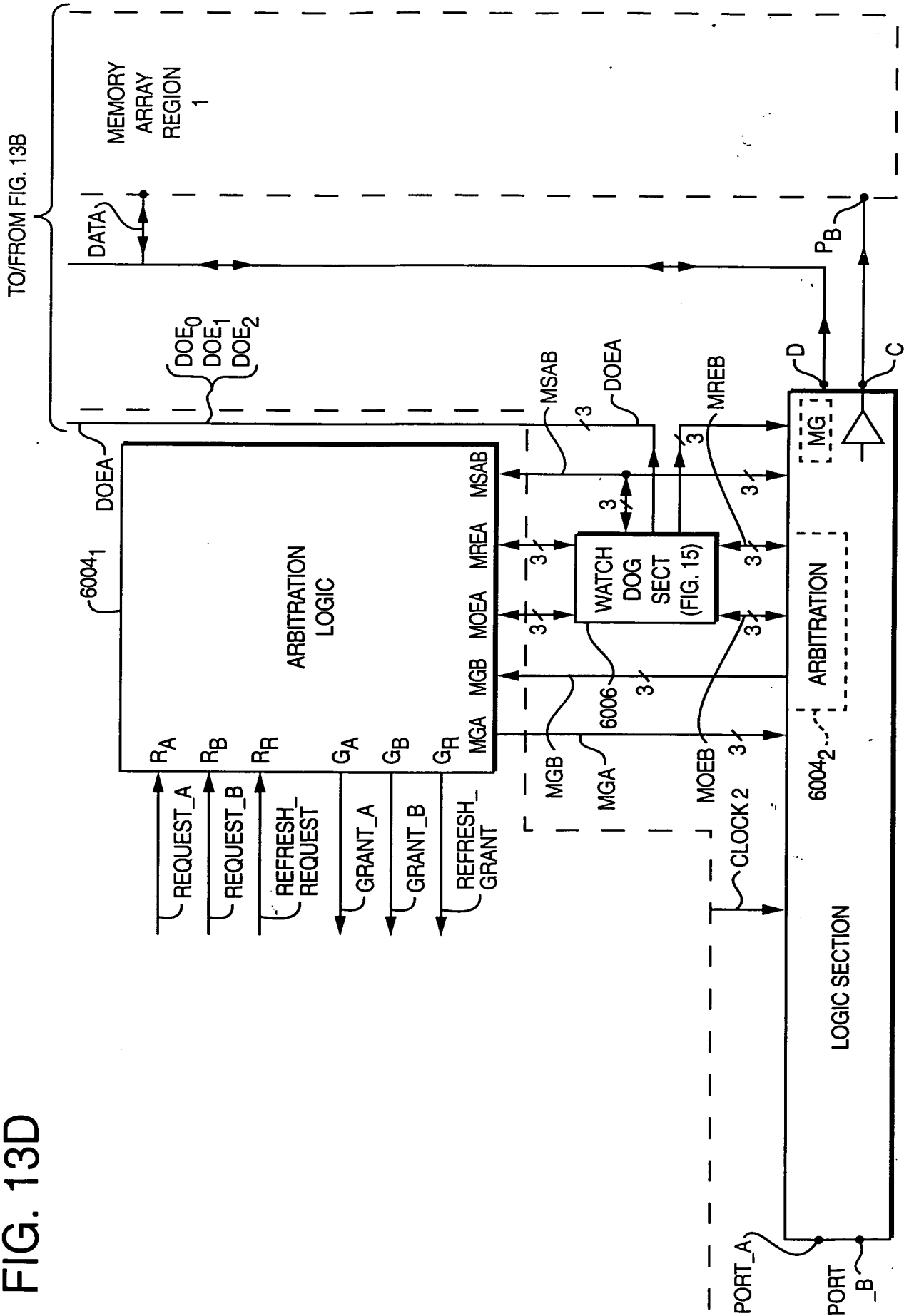


FIG. 13C

FIG. 13D



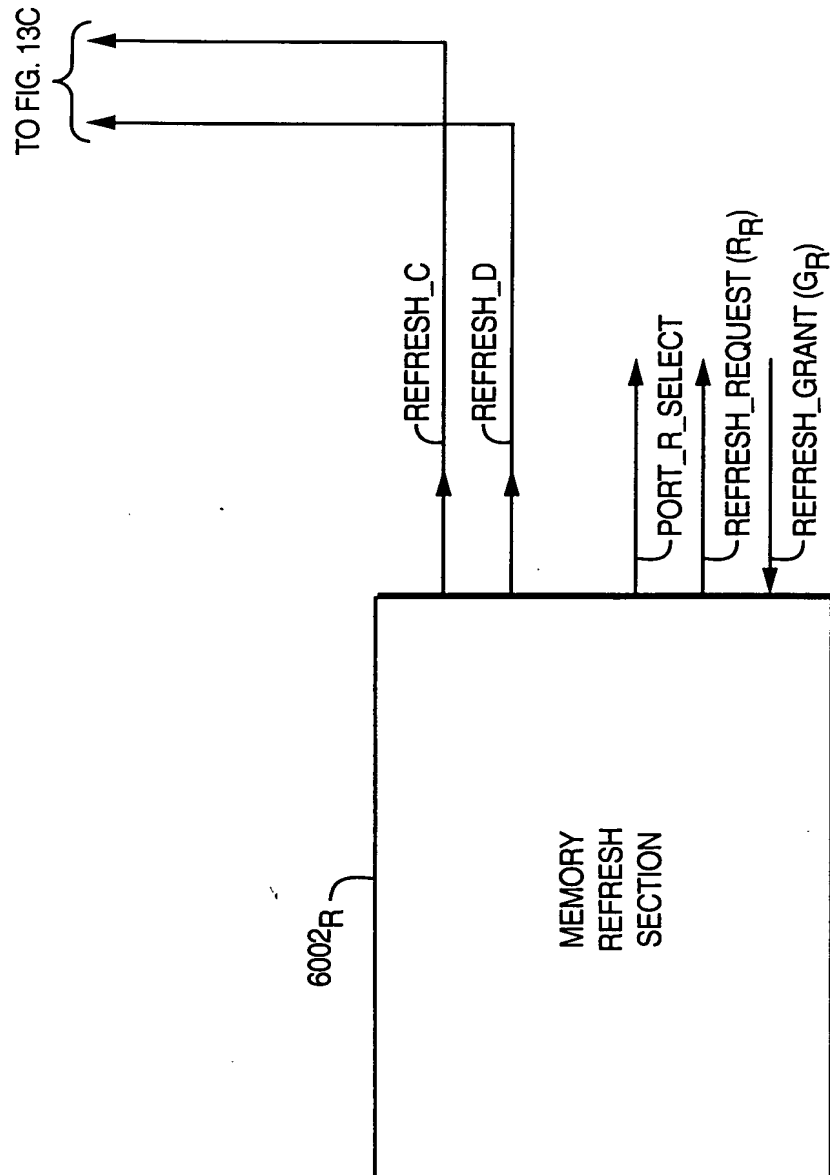


FIG. 13E

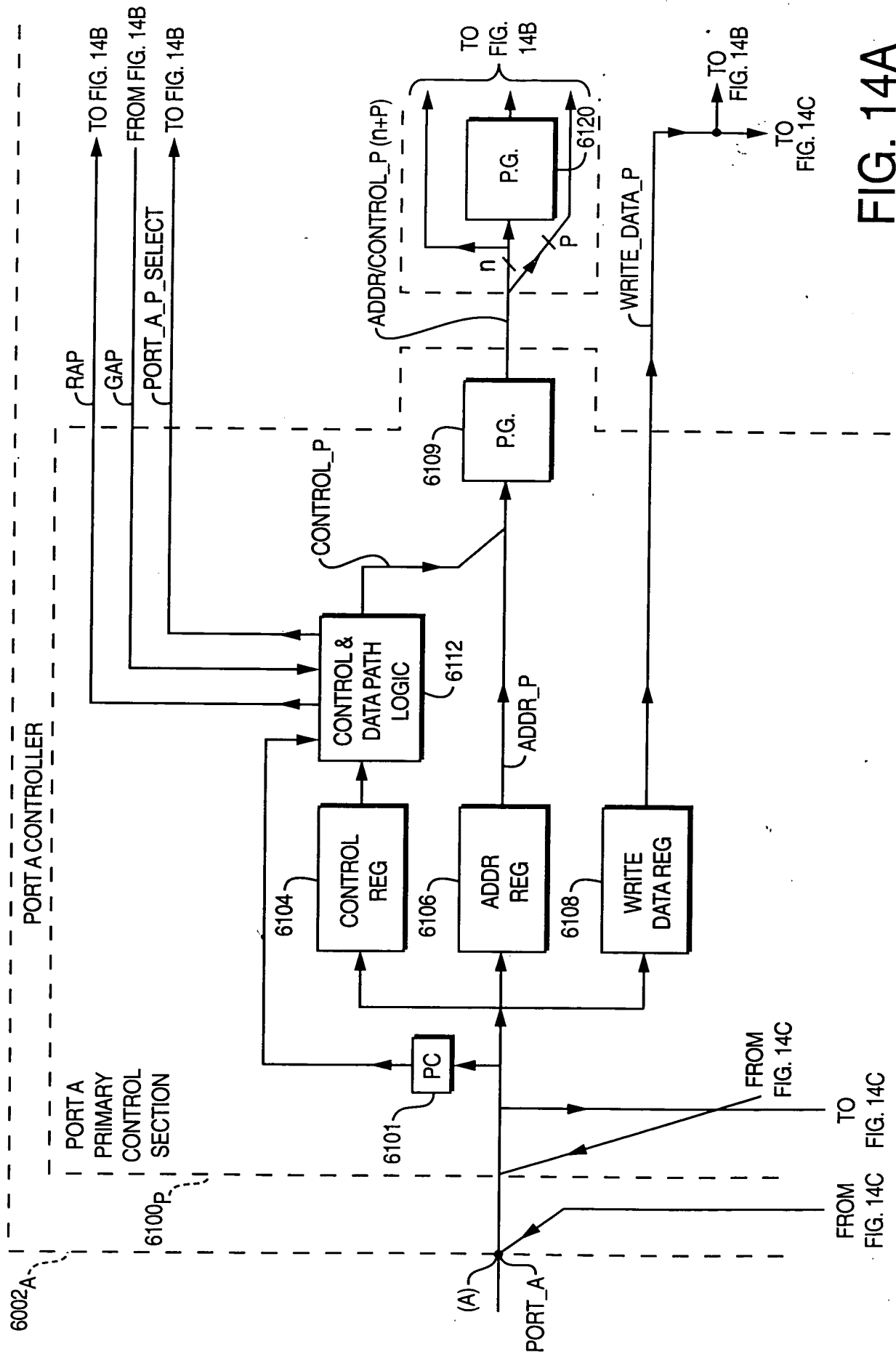


FIG. 14A

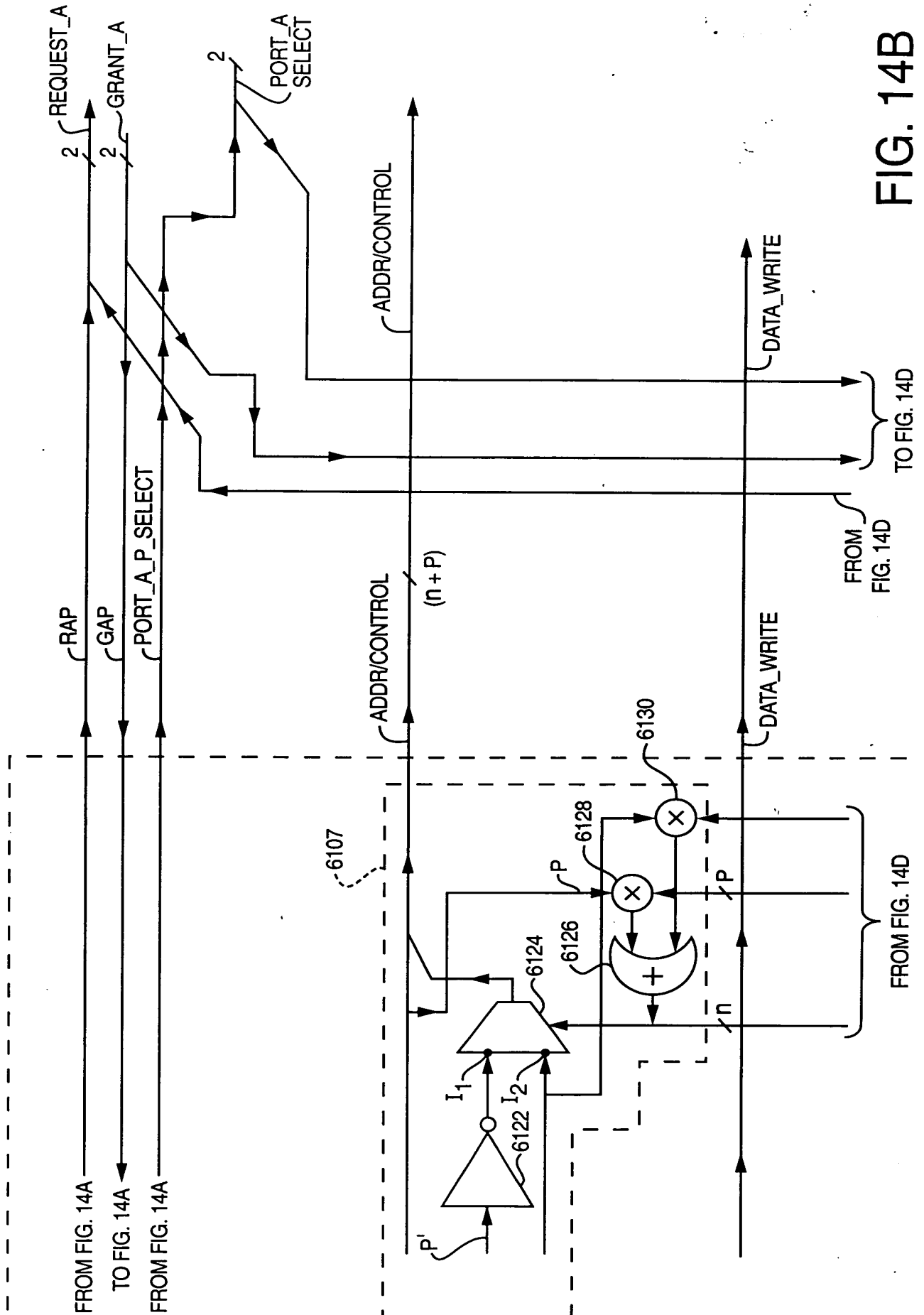
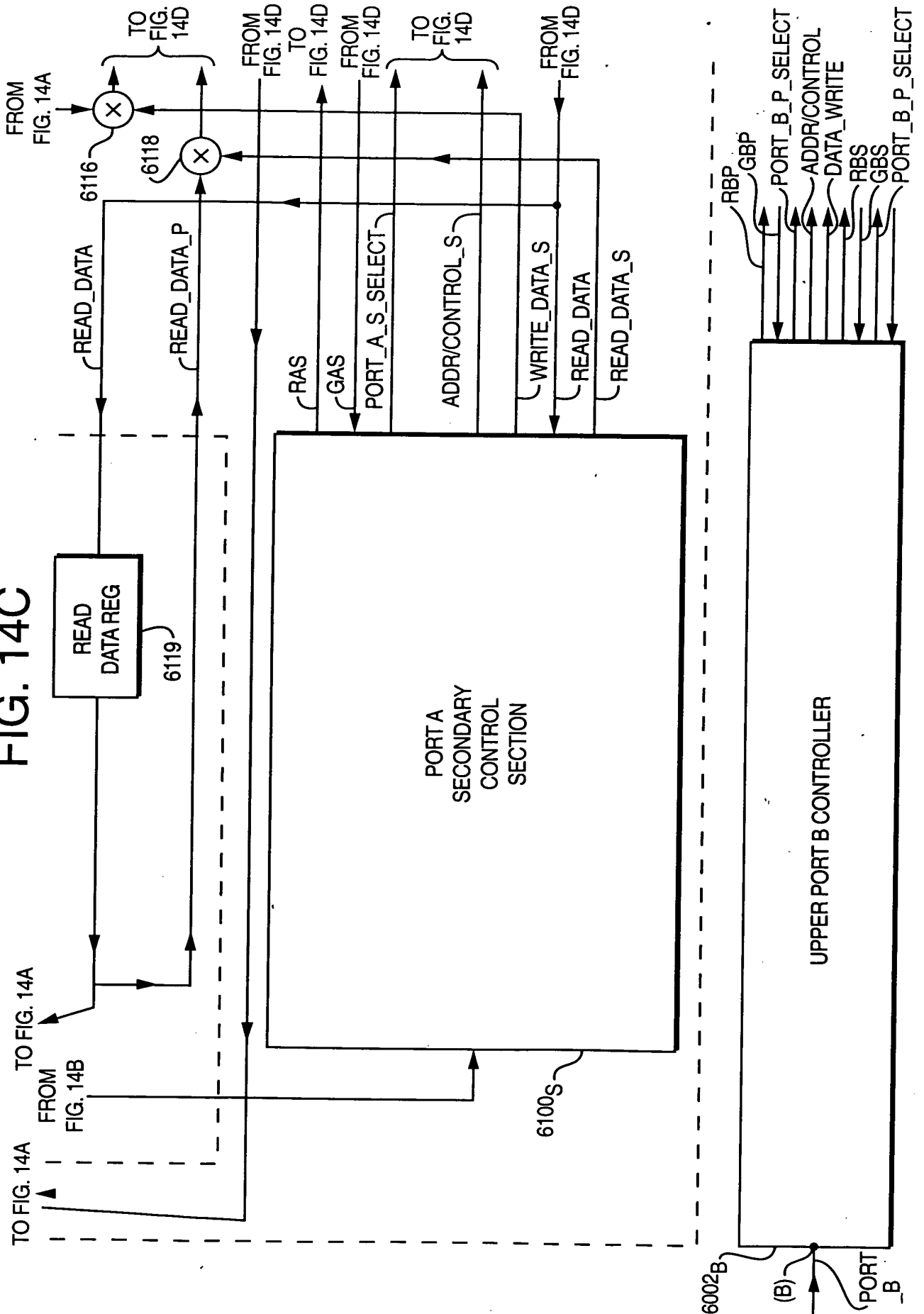


FIG. 14B

FIG. 14C



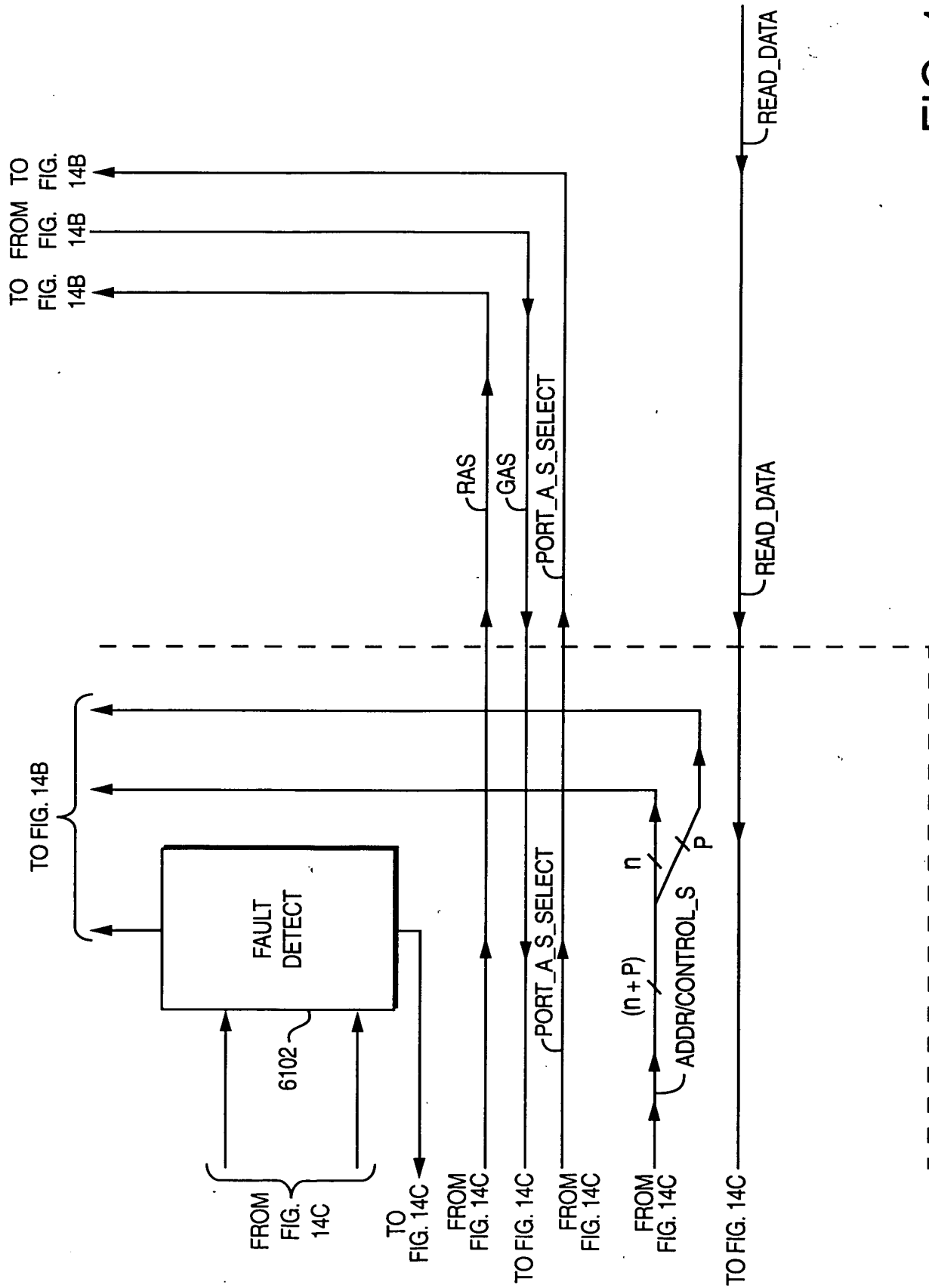


FIG. 14D

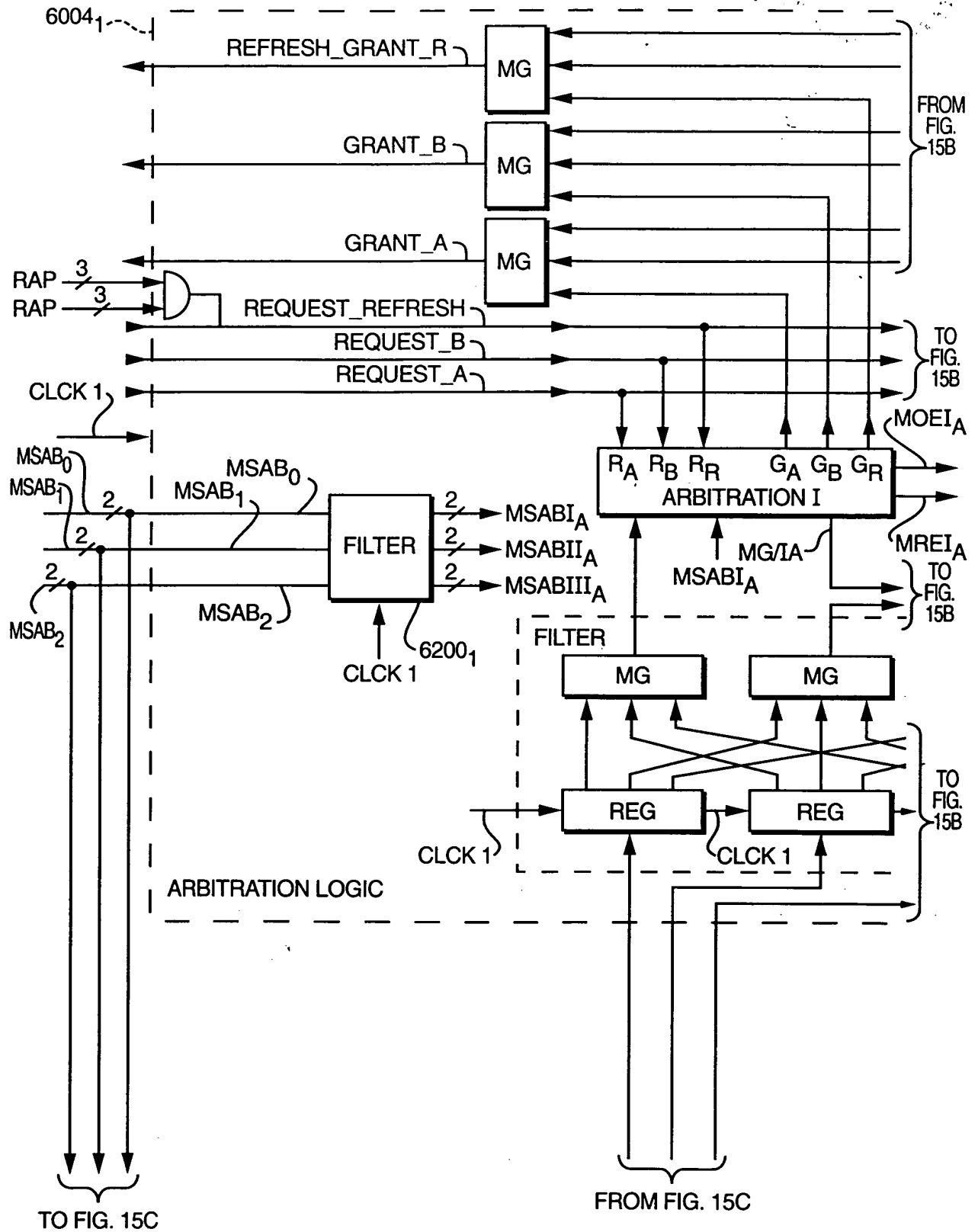


FIG. 15A

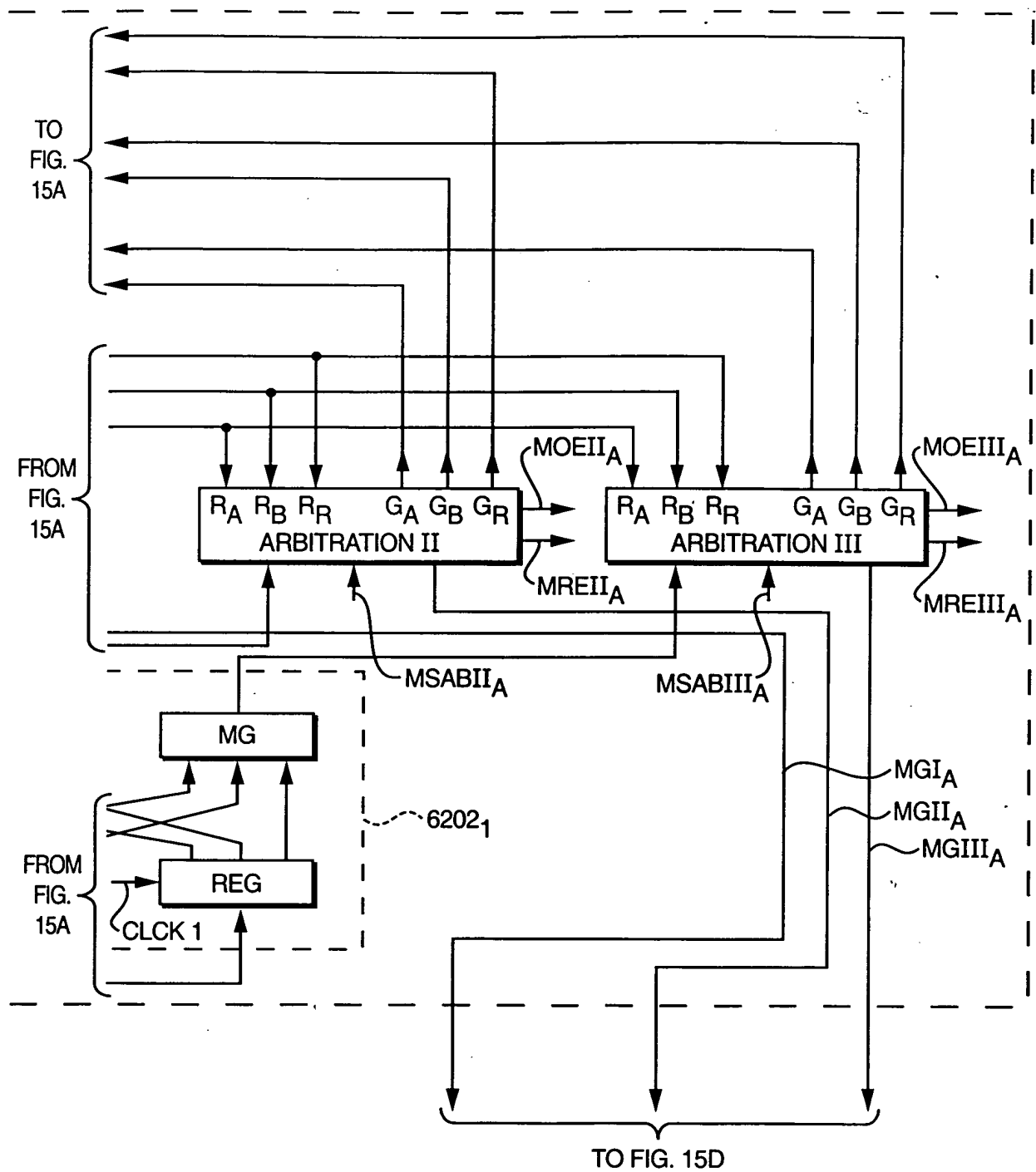


FIG. 15B

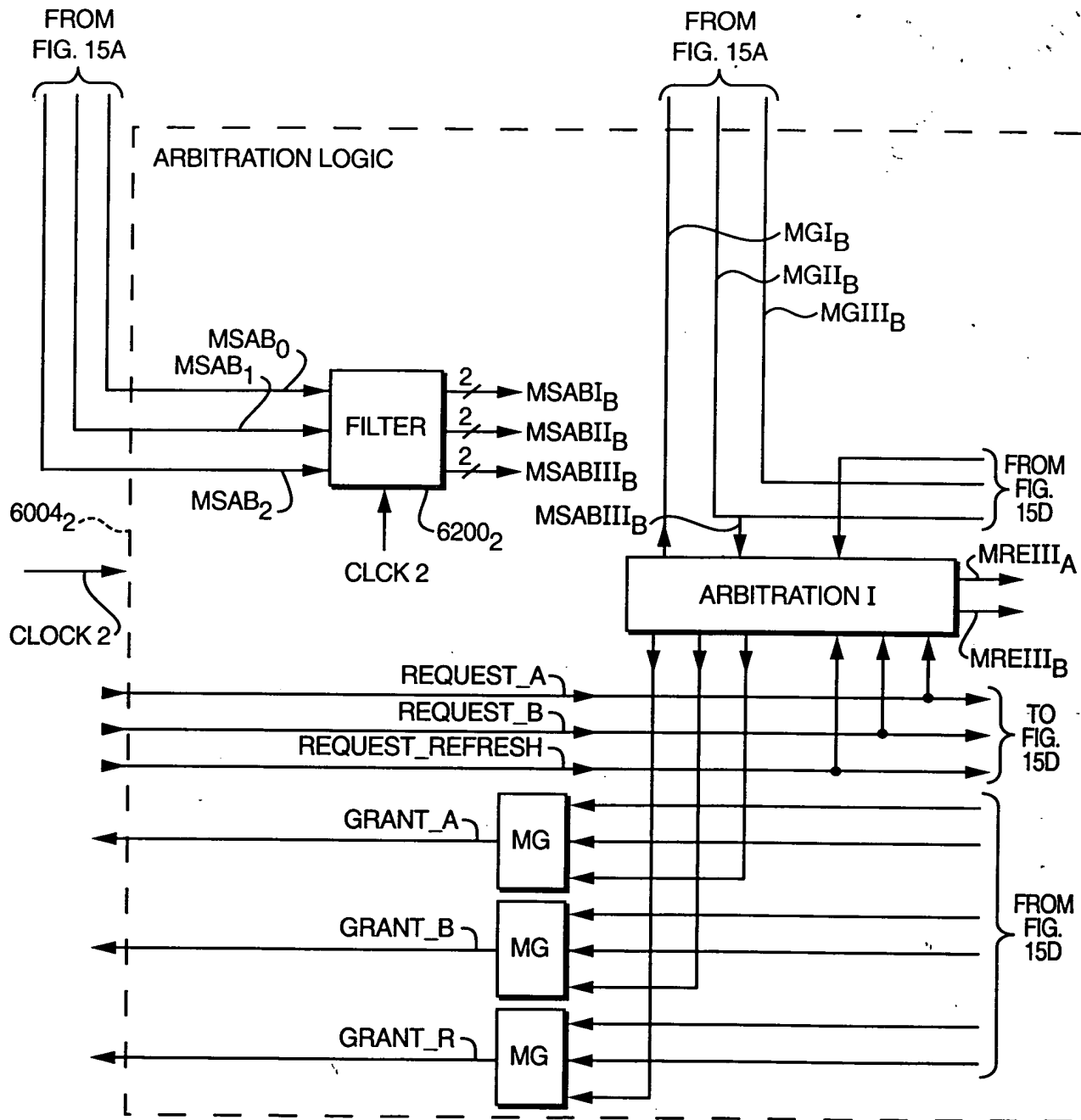


FIG. 15C

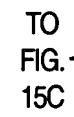


FIG. 15D

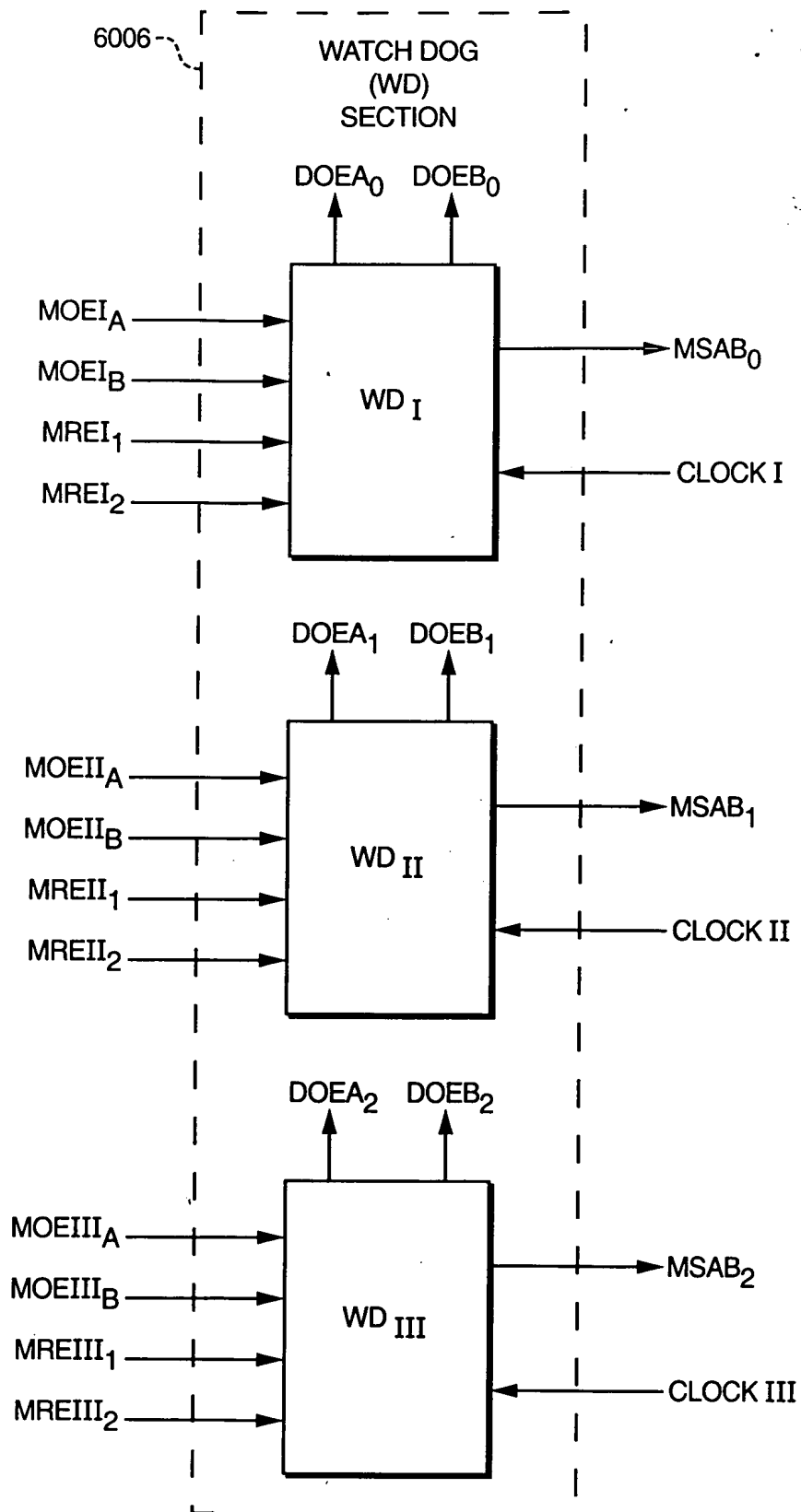


FIG. 15E

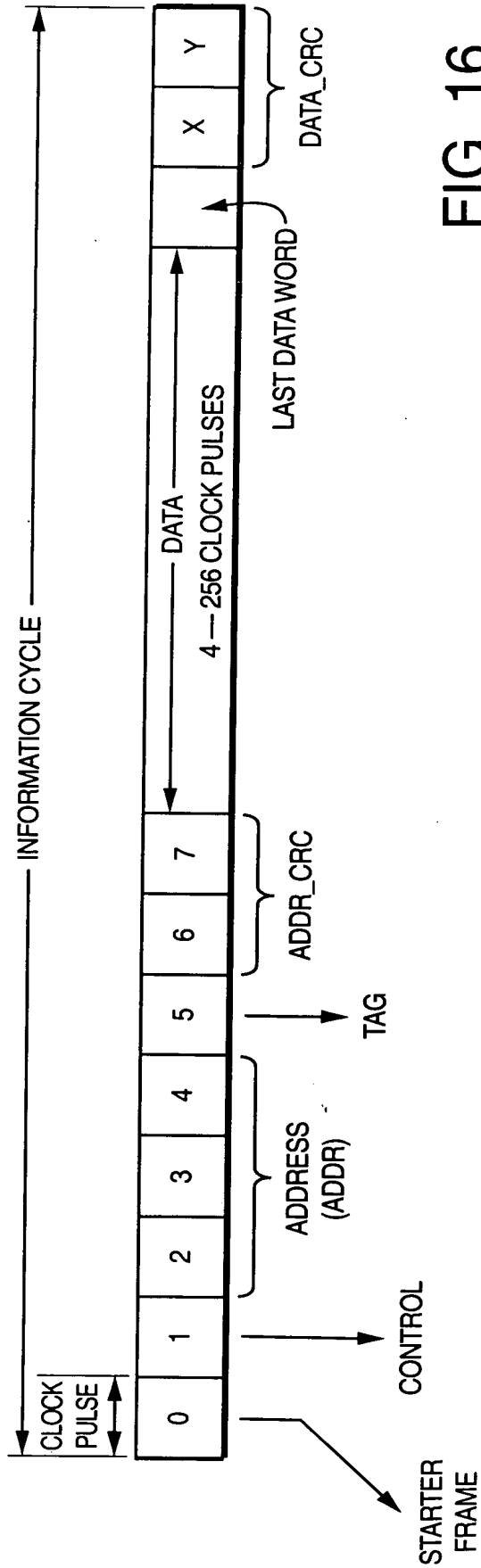


FIG. 16

MG INPUTS	MG OUTPUT	MG OUTPUT	MG OUTPUT
000	0	0	0
001	0	0	0
010	0	0	0
011	1	1	1
100	0	0	0
101	1	1	1
110	1	1	1
111	1	1	1

FIG. 17

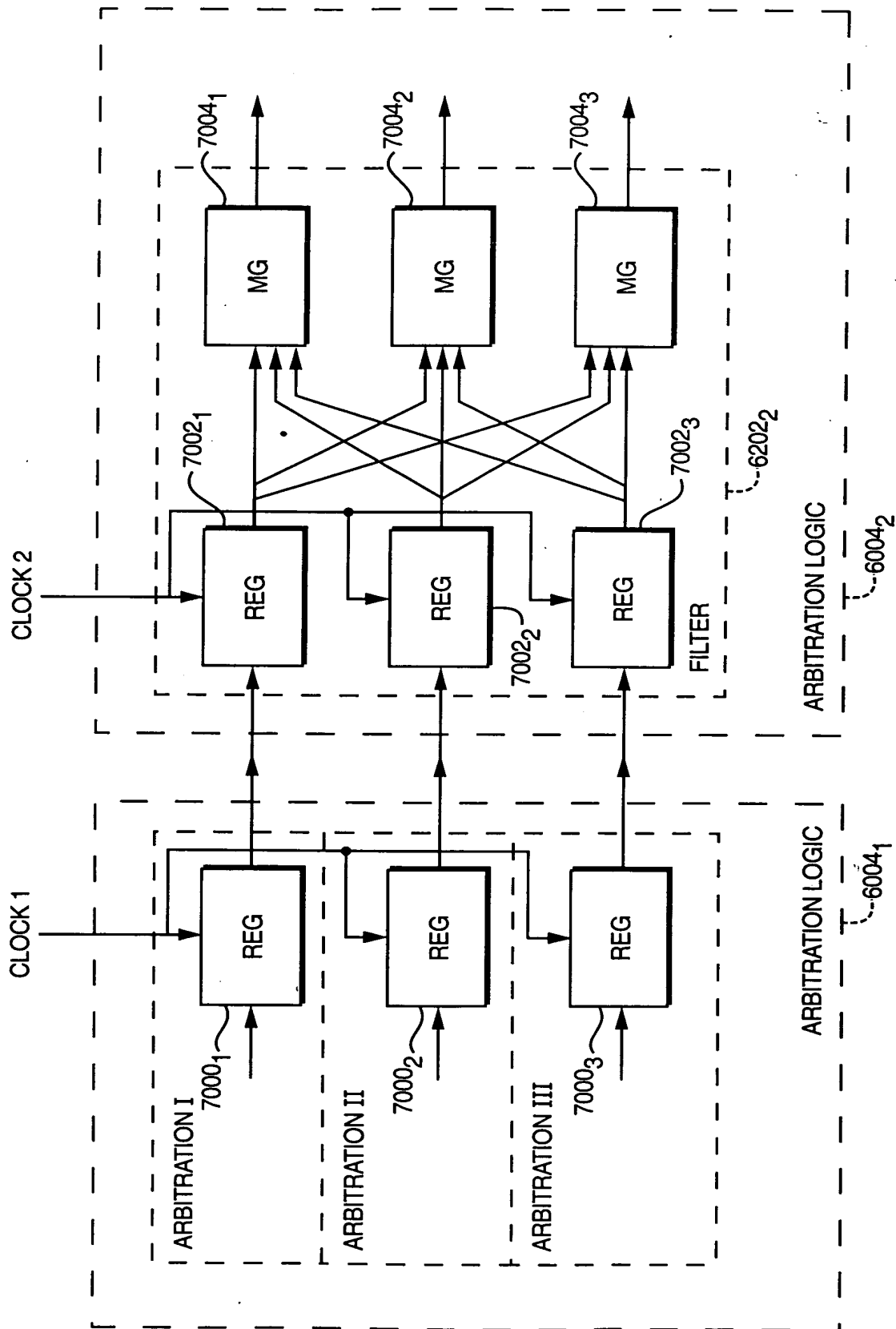


FIG. 18

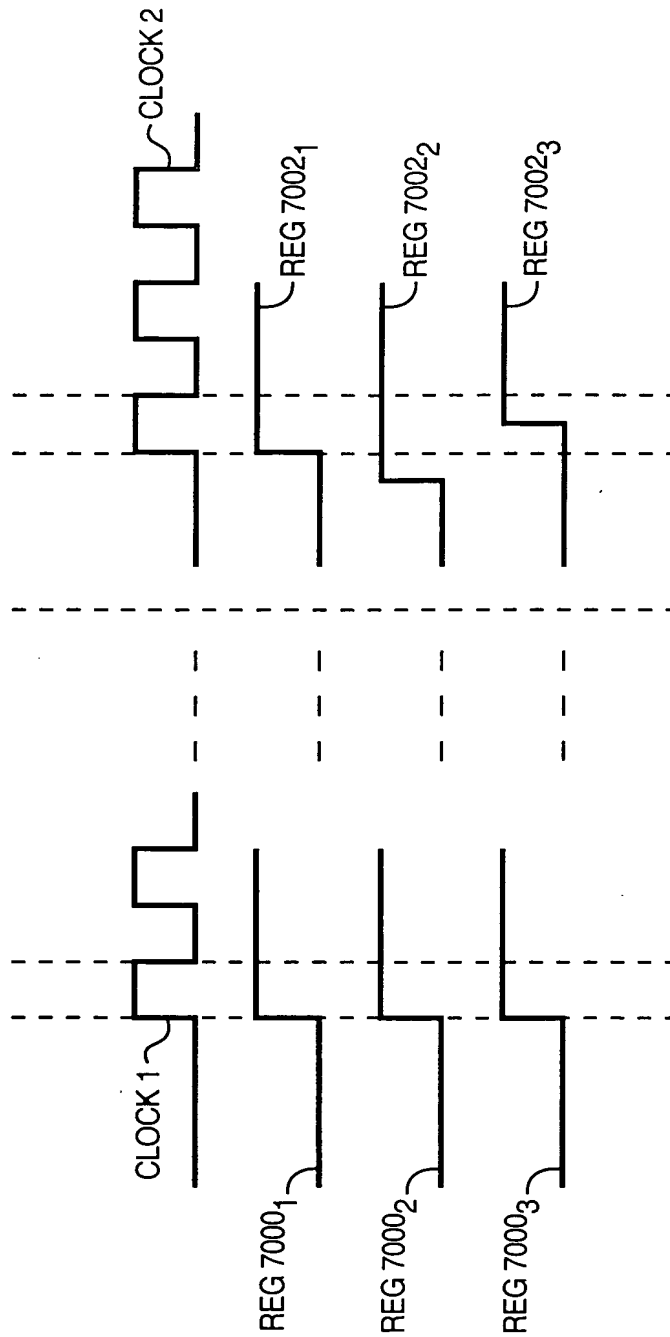


FIG. 19

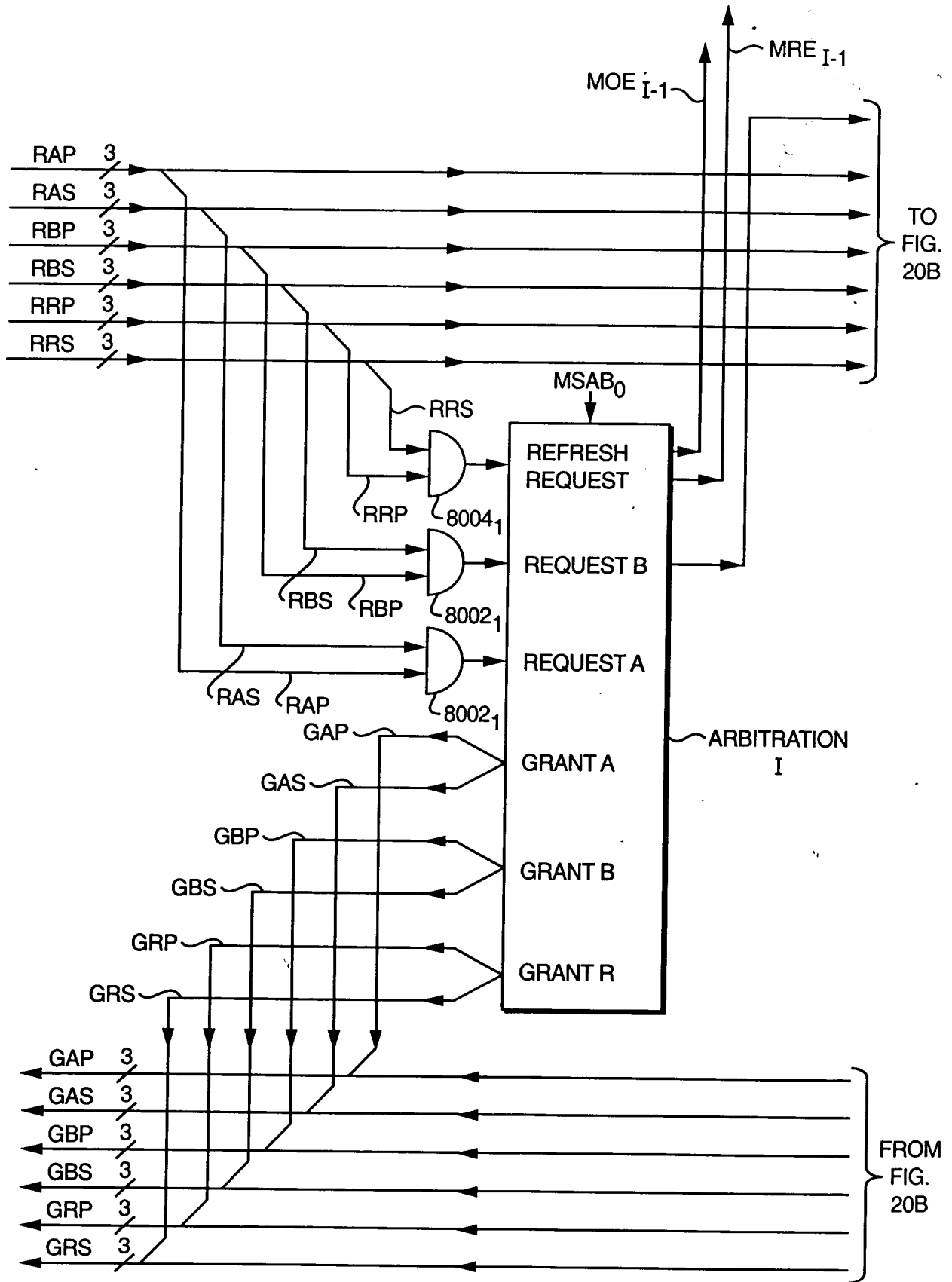


FIG. 20A

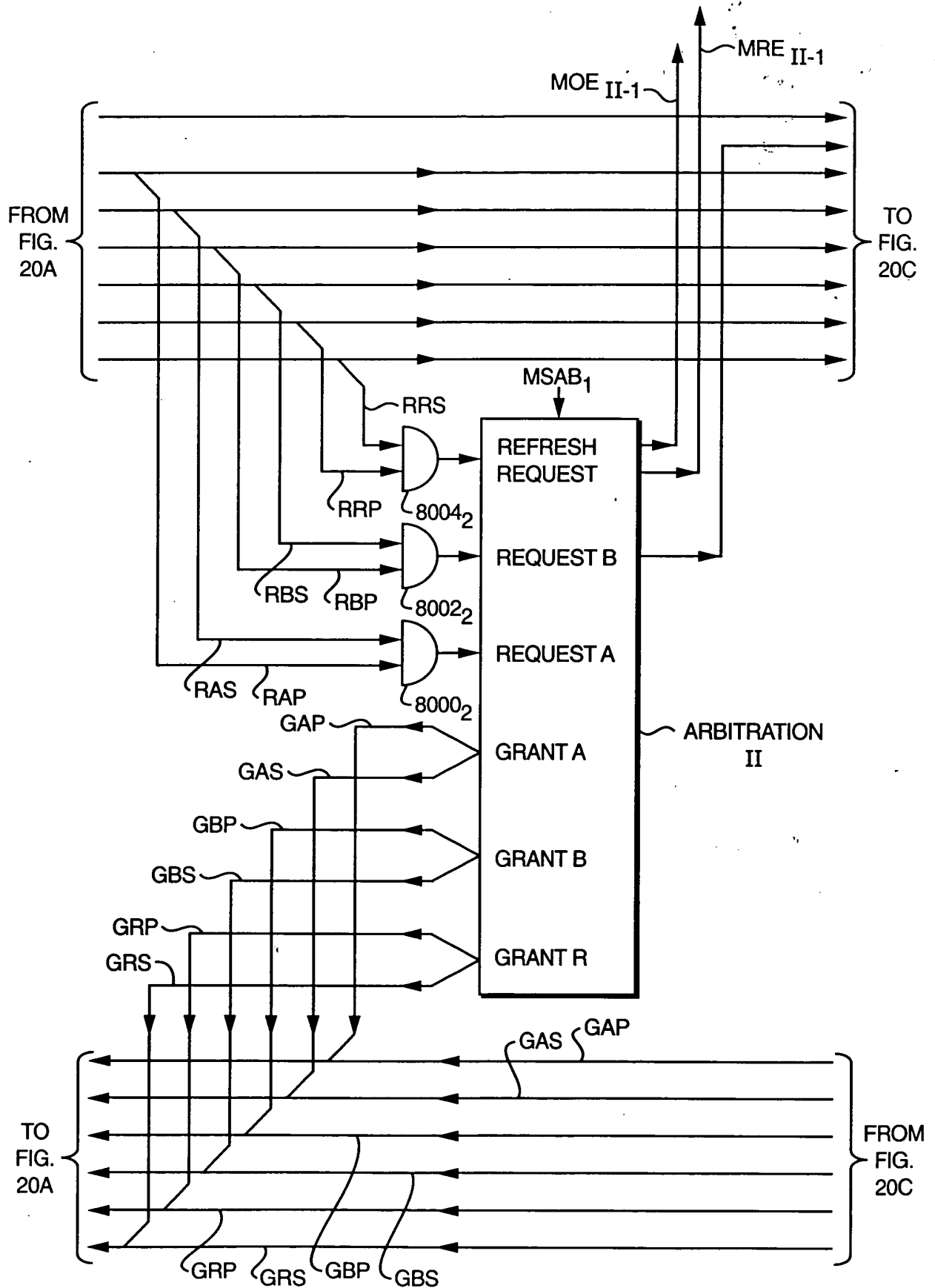


FIG. 20B

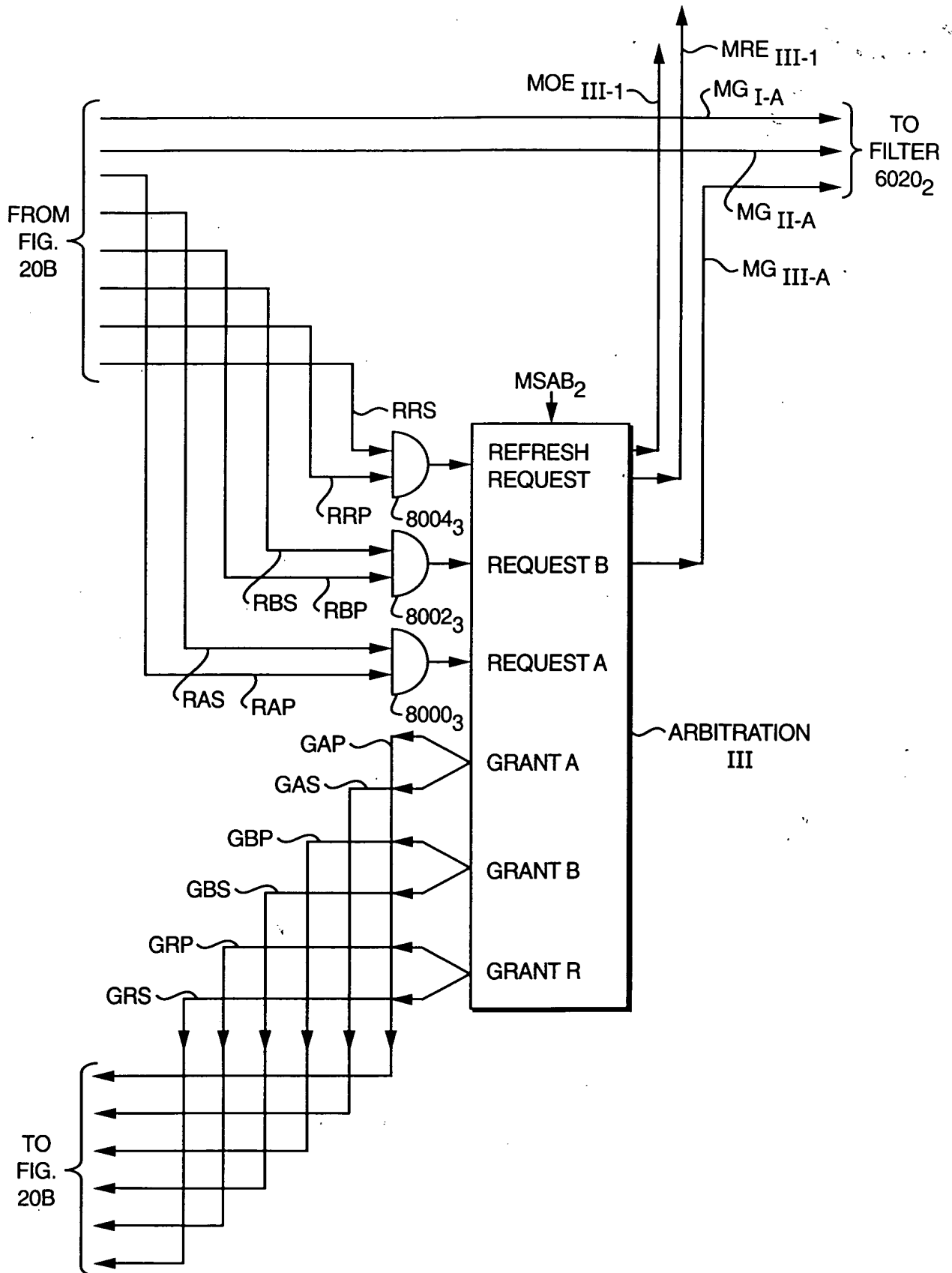


FIG. 20C